



L I F C

Soutenance de thèse

UNIVERSITÉ DE FRANCHE-COMTÉ



FRE 2661

Systemes à composants synchronisés : *Contributions à la vérification compositionnelle du raffinement et des propriétés*

Arnaud LANOIX

Thèse encadrée par Olga Kouchnarenko et Jacques Julliand



L I F C



Vérification de logiciels critiques

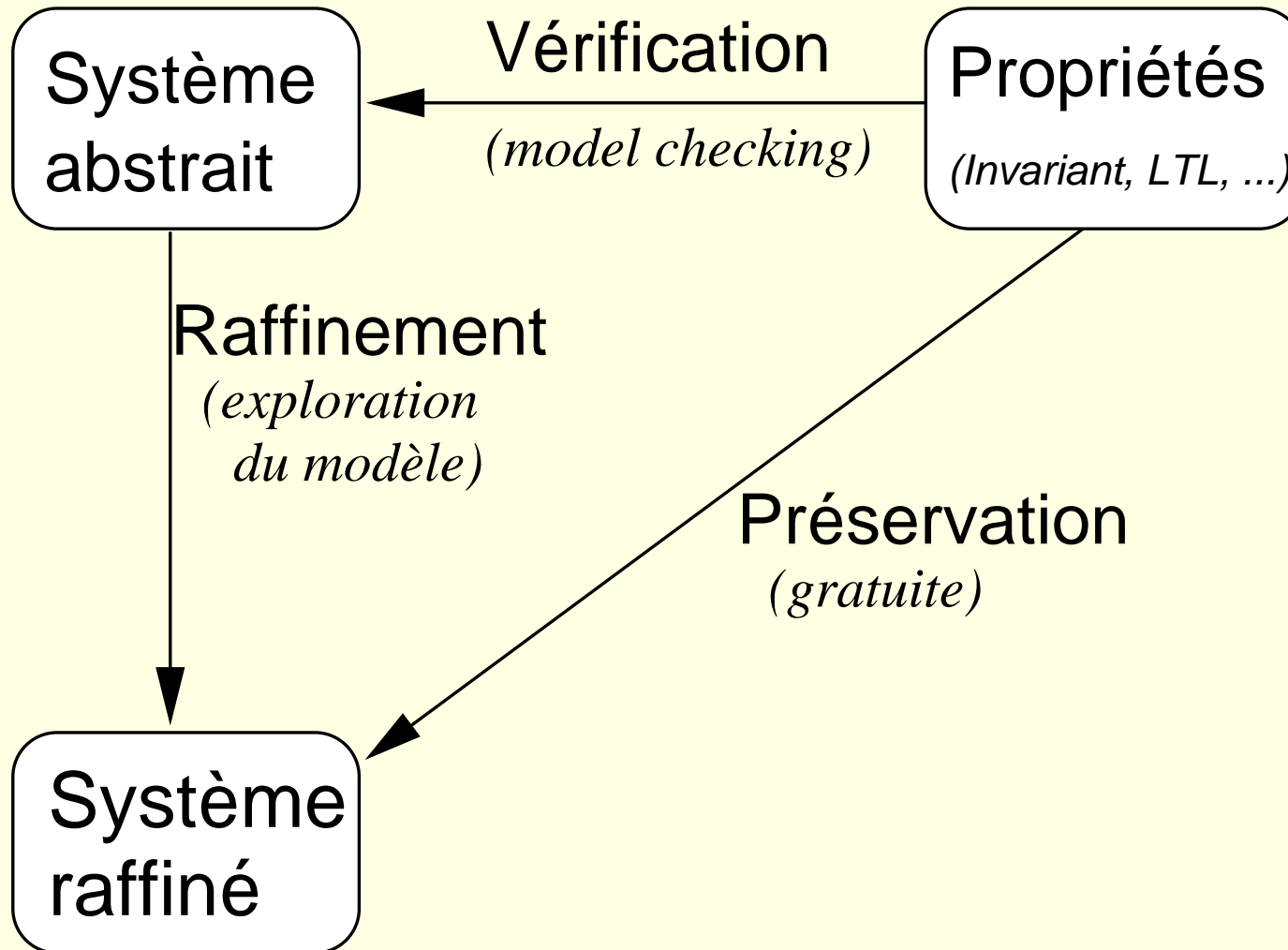
- ① *Spécifier* un modèle du système
 - Composition
 - Raffinement
- ② *Vérifier* des propriétés sur le modèle
 - Preuve
 - Model-checking

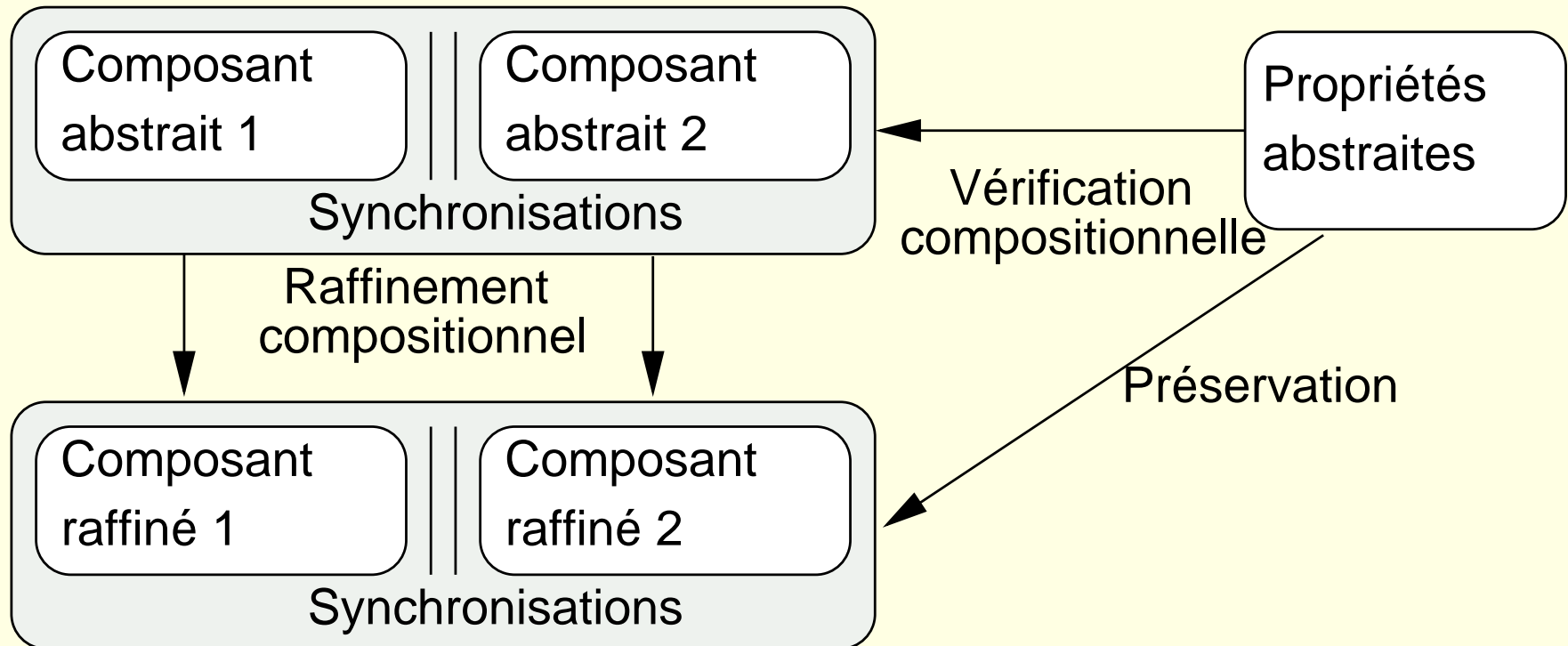


L I F C



Approche générale










L I F C





Plan de la présentation




Préliminaires

-  **Systemes de transitions doublement étiquetés**
-  **Propriétés des systèmes**
-  **Raffinement des systèmes**

Décomposition d'un système

-  **Décomposition et raffinement**
-  **Décomposition et propriétés**

Systemes à composants synchronisés

-  **Systemes à composants et raffinement**
-  **Systemes à composants et propriétés**
-  **Implantation SynCo**

Conclusion et perspectives



Un ST2E est un six-uplet (Q, Q_0, E, T, V, l)

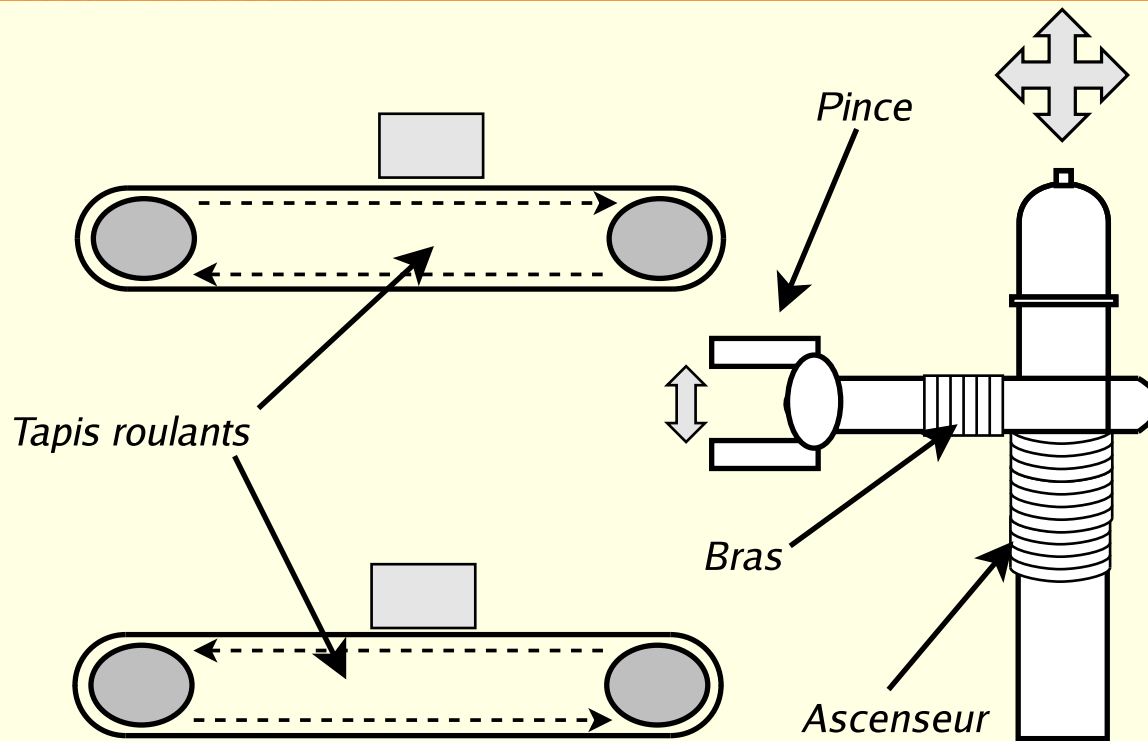
- ① Q , ensemble d'états
- ① $Q_0 \subseteq Q$, ensemble d'états initiaux
- ① E , ensemble de noms d'actions
- ① $T \subseteq Q \times E \times Q$, relation de transition étiquetée
- ① V , ensemble de variables
- ① $l : Q \rightarrow 2^{AP_V}$, fonction d'étiquetage associant à chaque état un ensemble de propositions atomiques



L I F C

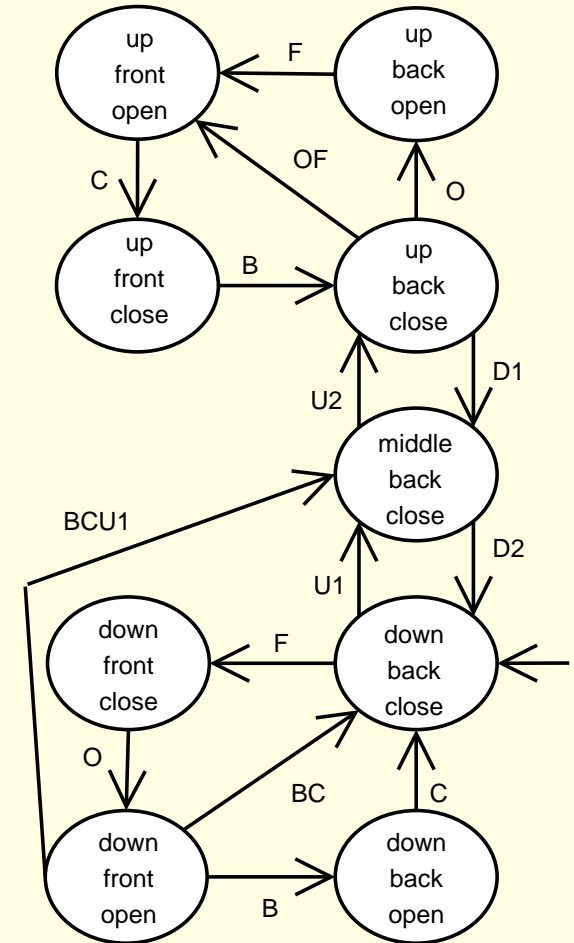


Systemes de transitions : bras mobile robotisé



3 variables $\left\{ \begin{array}{l} el \in \{up, middle, down\} \\ ar \in \{front, back\} \\ cl \in \{open, close\} \end{array} \right.$

11 actions : $F, B, O, C, U1, U2, D1, D2, FO, BC, BCU1$



Robot_A



L I F C



Propriétés des systèmes

- ① *Propriétés d'invariance* : propriétés satisfaites dans tous les états de S
- ① *Propriétés temporelles* : propriétés satisfaites le long des exécutions de S , c'à-d des successions d'états

Logique Temporelle Linéaire (LTL) [Pnueli 81]

$$\bigcirc\phi, \phi \mathcal{U} \psi, \square\phi, \diamond\phi$$

- ① Propriétés de *sûreté*, de *vivacité*, d'*atteignabilité*
- ① Vérification automatique par exploration du graphe d'états
[Lichtenstein, Pnueli 85 - Vardi, Wolper 86 - Clarke, Grumberg, Peled 00]



Propriétés des systèmes : $Robot_A$

- "Si le dispositif est en position médiane alors la pince est fermée et le bras reculé"

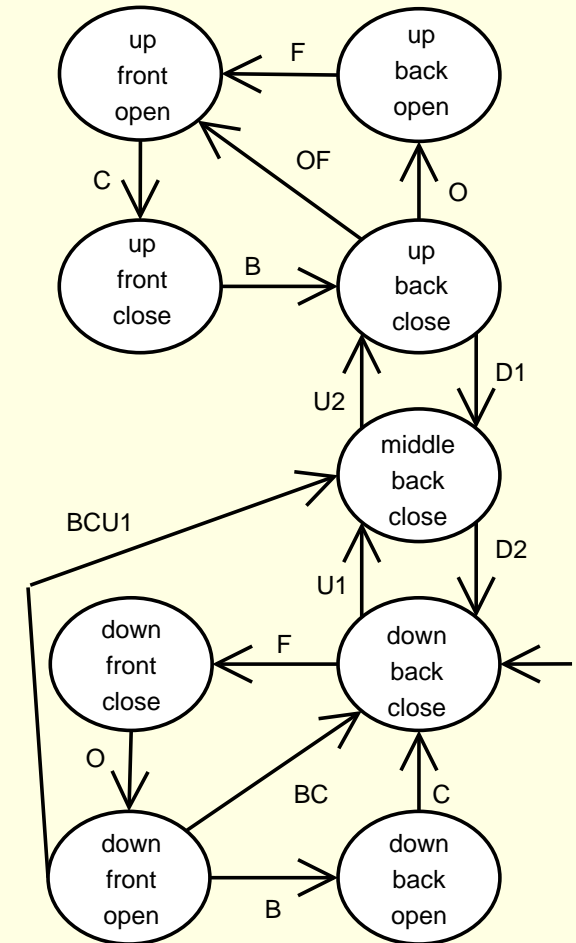
$$\square((el = middle) \Rightarrow (ar = back \wedge cl = close))$$

- "La pince ne reste pas indéfiniment ouverte"

$$\square((cl = open) \Rightarrow \diamond(cl = close))$$

- "Quand le dispositif est en position médiane, les seules actions possibles sont la montée ou la descente"

$$\square((el = middle) \Rightarrow \bigcirc(el \in \{up, down\}))$$



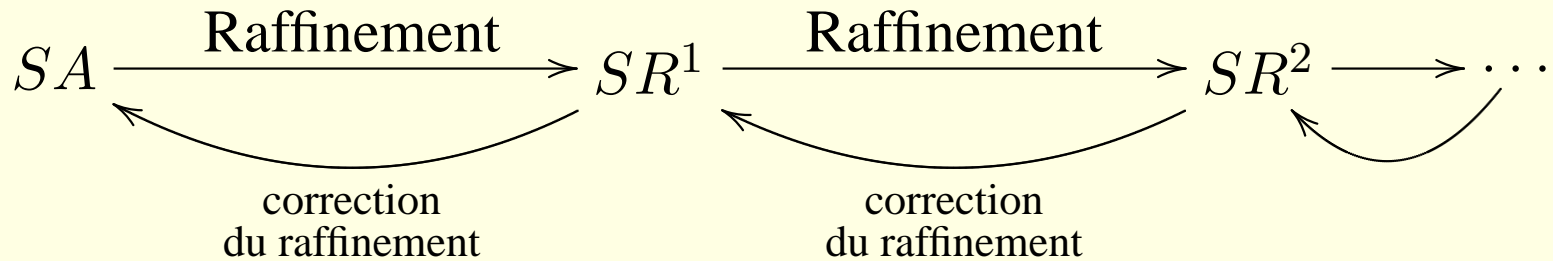
$Robot_A$



L I F C



Raffinement des systèmes



- Redéfinir les variables abstraites et ajouter de nouvelles variables
prédicat de collage \rightarrow relation entre variables abstraites et variables raffinées
- Ajouter de nouvelles actions

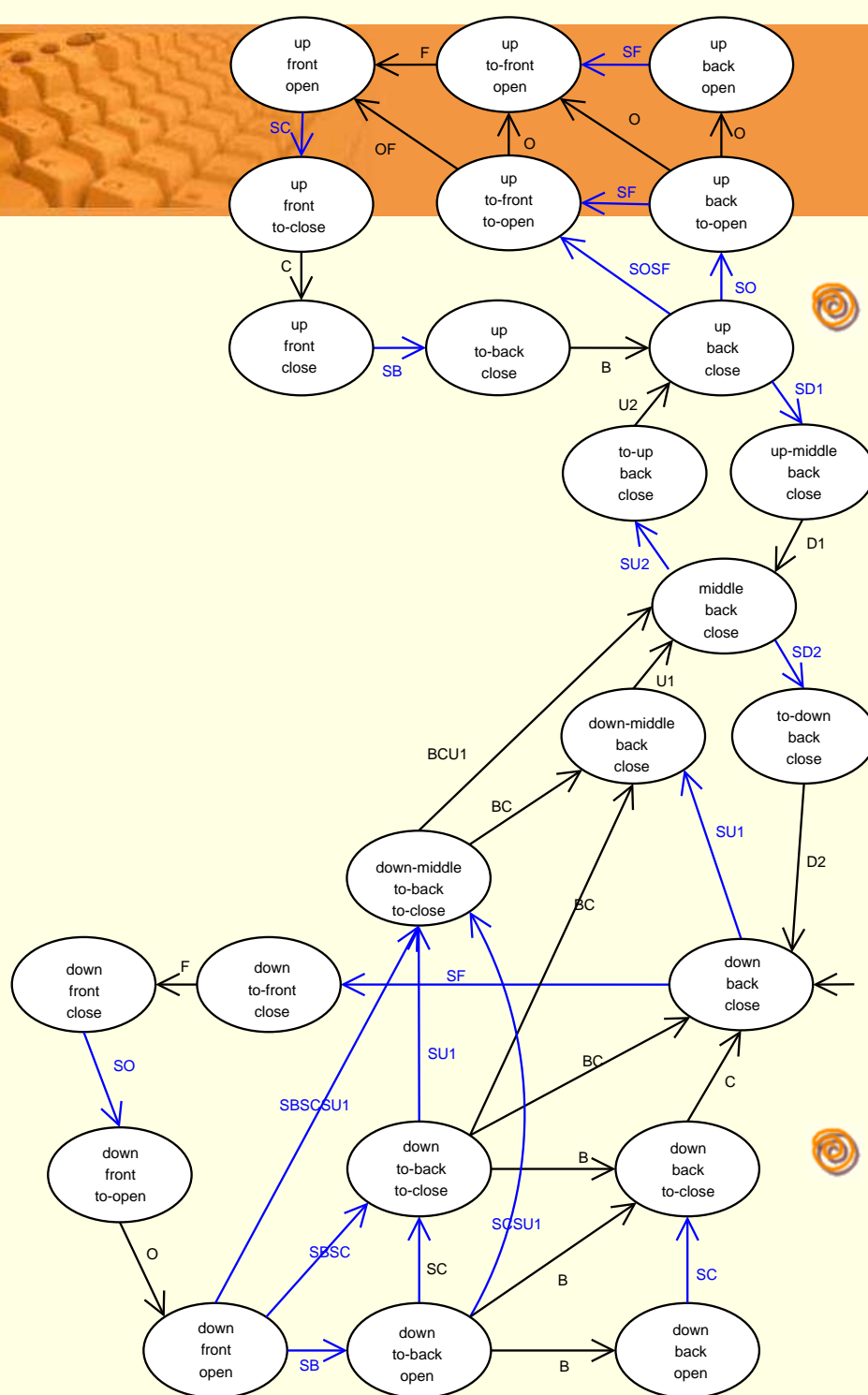
raffinement de Dijkstra [Dijkstra 76], *raffinement de systèmes d'actions* [Back 88], *raffinement B* [Abrial 96], *raffinement TLA* [Lamport 96], etc.



L I F C



Raffinement : $Robot_R$



Redéfinition du domaine des variables el_R , ar_R et cl_R

Prédicat de collage :

$$el = up \Leftrightarrow el_R \in \{up, up2mid\}$$

$$\wedge el = middle \Leftrightarrow el_R \in \{2up, middle, 2down\}$$

$$\wedge el = down \Leftrightarrow el_R \in \{down, do2mid\}$$

$$\wedge ar = front \Leftrightarrow ar_R \in \{front, 2back\}$$

$$\wedge ar = back \Leftrightarrow ar_R \in \{back, 2front\}$$

$$\wedge cl = open \Leftrightarrow cl_R \in \{open, 2close\}$$

$$\wedge cl = close \Leftrightarrow cl_R \in \{close, 2open\}$$

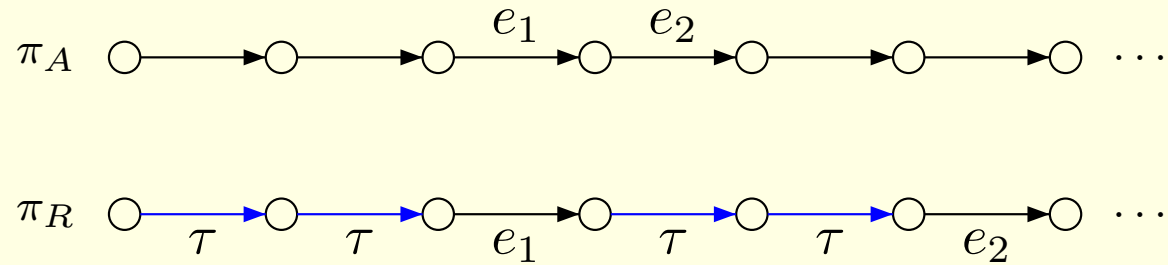
Ajout de nouvelles actions : SC , SB , SBC , SO , $SCU1$, SF , $SU1$, $SU2 \dots$



L I F C

Raffinement : $SR \sqsubseteq_{\eta} SA$

Relation de raffinement entre SR et SA [Bellegarde, Julliand, Kouchnarenko 00]

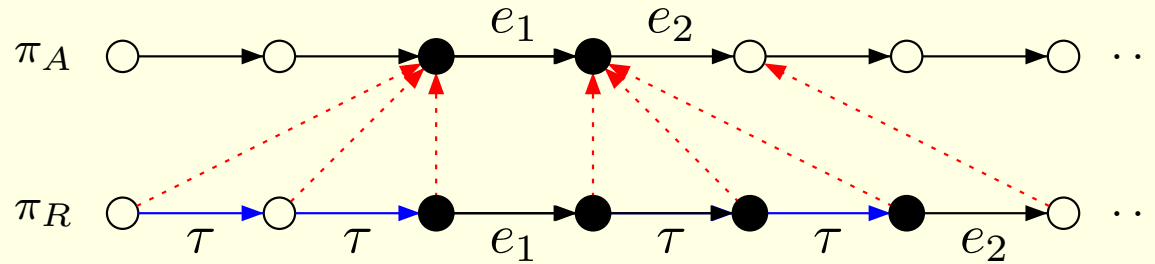




L I F C

Raffinement : $SR \sqsubseteq_{\eta} SA$

Relation de raffinement entre SR et SA [Bellegarde, Julliand, Kouchnarenko 00]



- Relation de collage
- Simulation des "anciennes" actions
- τ -simulation des "nouvelles" actions

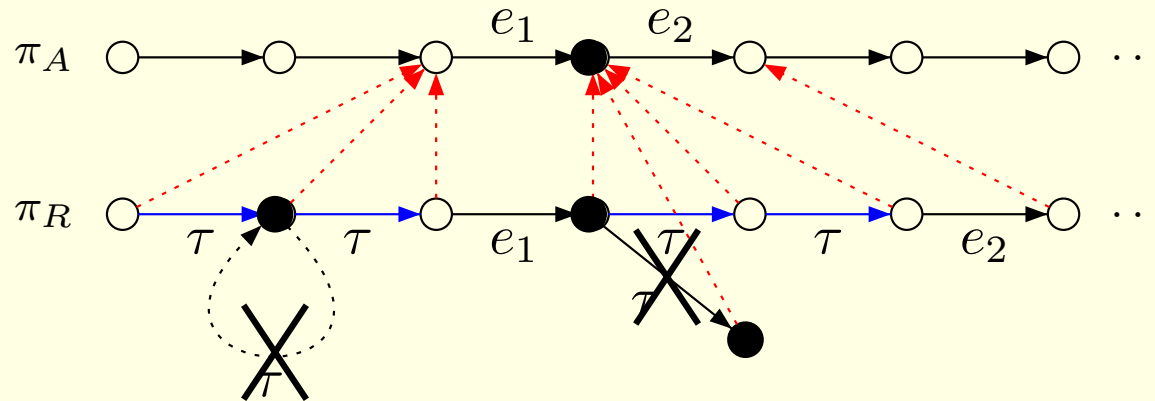


L I F C



Raffinement : $SR \sqsubseteq_{\eta} SA$

Relation de raffinement entre SR et SA [Bellegarde, Julliand, Kouchnarenko 00]



- Relation de collage
- Simulation des "anciennes" actions
- τ -simulation des "nouvelles" actions
- Absence de τ -cycles
- Absence de "nouveaux" blocages

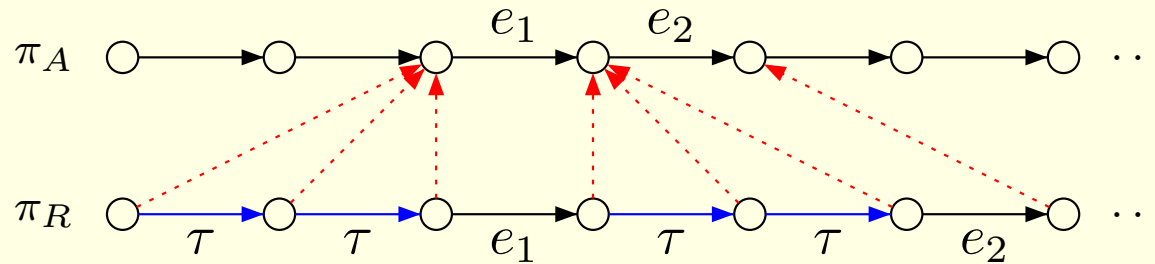


L I F C



Raffinement : $SR \sqsubseteq_{\eta} SA$

Relation de raffinement entre SR et SA [Bellegarde, Julliand, Kouchnarenko 00]



- Relation de collage
- Simulation des "anciennes" actions
- τ -simulation des "nouvelles" actions
- Absence de τ -cycles
- Absence de "nouveaux" blocages

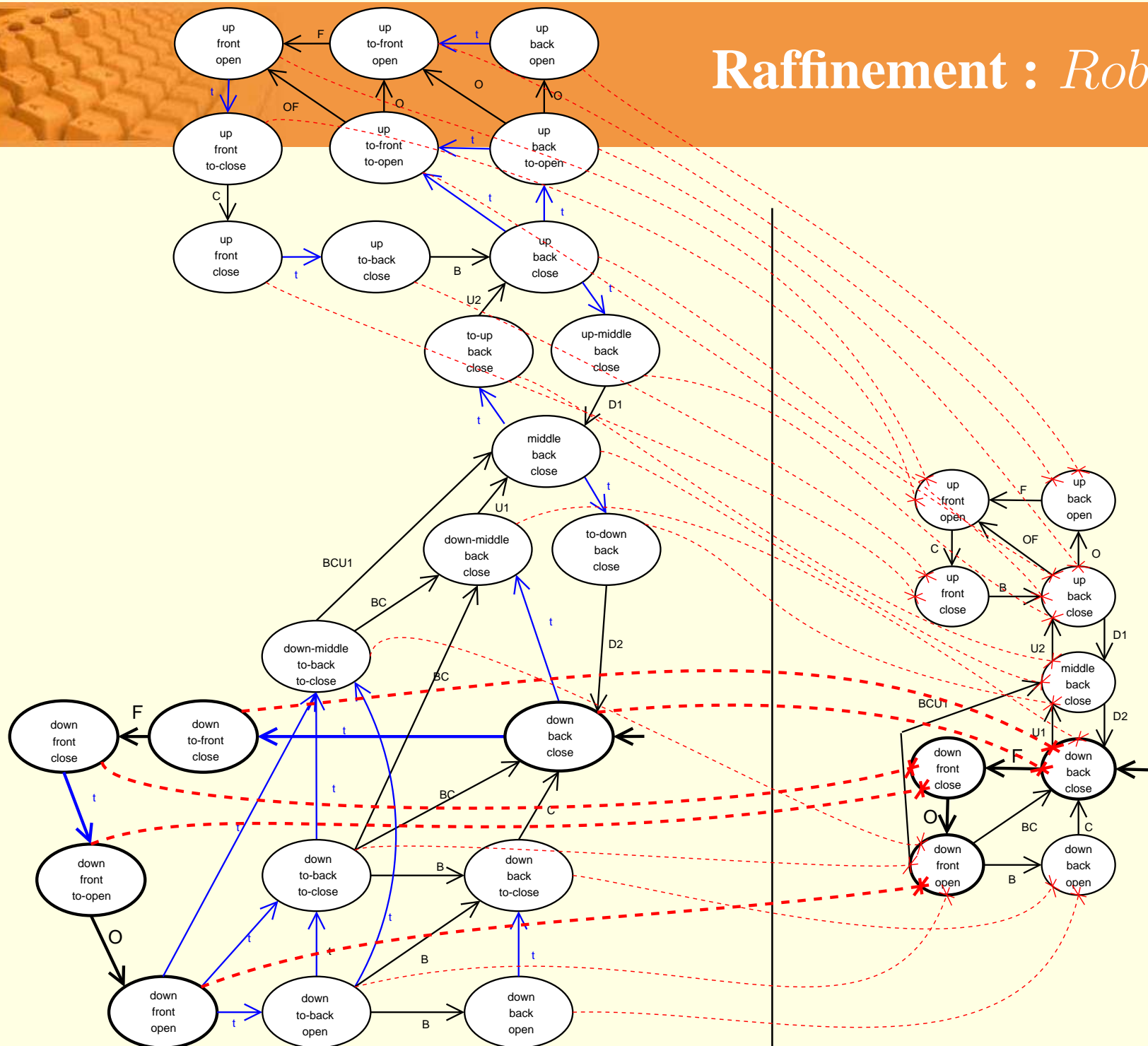
\Rightarrow Préservation des propriétés LTL [Darlot, Julliand, Kouchnarenko 03]



L I F C

UNIVERSITÉ DE FRANCHE-COMTÉ

Raffinement : $Robot_R$





L I F C

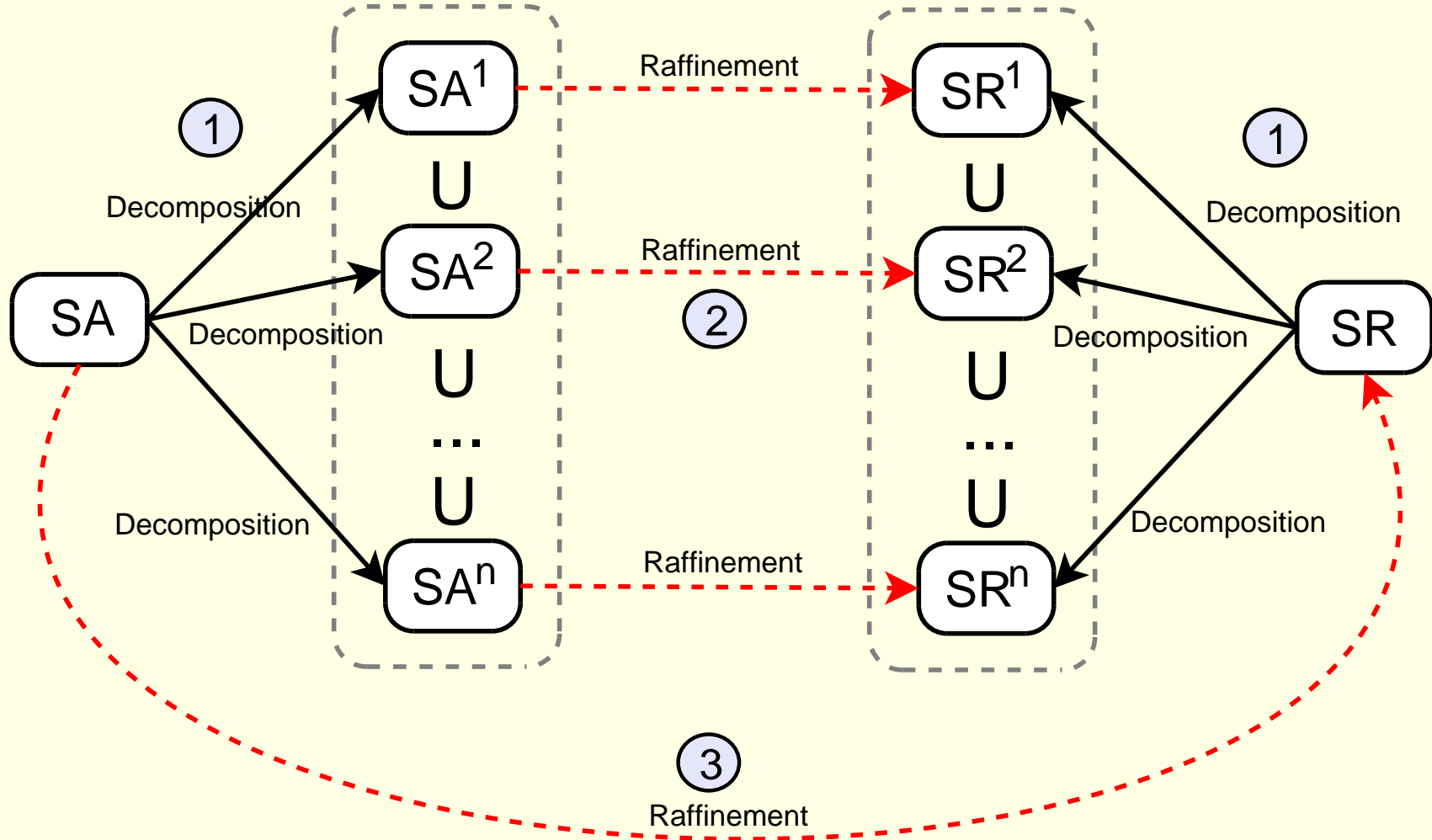


Plan de la présentation

- ① Préliminaires
 - Systèmes de transitions doublement étiquetés
 - Propriétés des systèmes
 - Raffinement des systèmes
- ② **Décomposition d'un système**
 - **Décomposition et raffinement**
 - **Décomposition et propriétés**
- ③ Systèmes à composants synchronisés
 - Systèmes à composants et raffinement
 - Systèmes à composants et propriétés
 - Implantation SynCo
- ④ Conclusion et perspectives



Décomposition





Décomposition : sous-systèmes

S^1 et S^2 sont des *sous-systèmes* de $S = S^1 \cup S^2$ si

$$\textcircled{a} Q = Q^1 \cup Q^2$$

$$\textcircled{a} E = E^1 \cup E^2$$

$$\textcircled{a} Q_0 = Q_0^1 \cup Q_0^2$$

$$\textcircled{a} T = T^1 \cup T^2$$

$$\textcircled{a} \forall q \in Q, l(q) = \begin{cases} l^1(q) & \text{si } q \in Q^1 \setminus Q^2 \\ l^2(q) & \text{si } q \in Q^2 \setminus Q^1 \\ l^1(q) = l^2(q) & \text{si } q \in Q^1 \cap Q^2 \end{cases}$$

La décomposition se généralise par associativité :

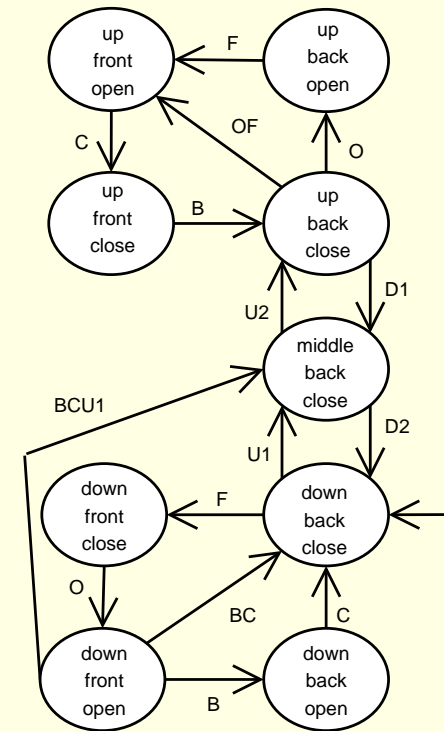
$$(S^1 \cup S^2) \cup S^3 = S^1 \cup (S^2 \cup S^3)$$



L I F C



Décomposition : *Robot_A*



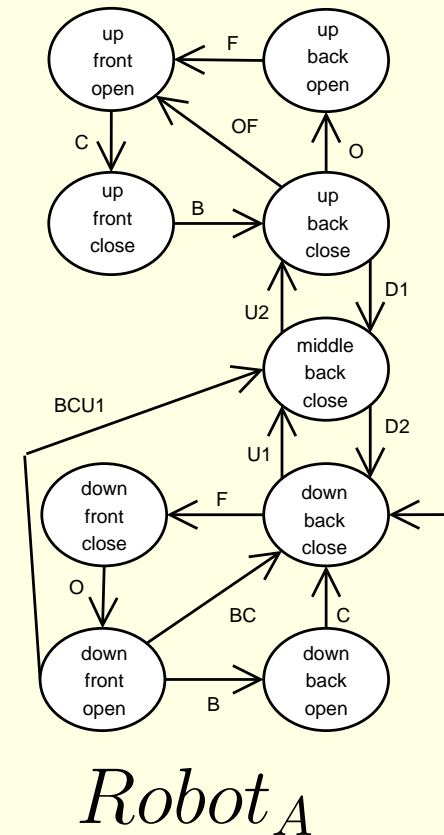
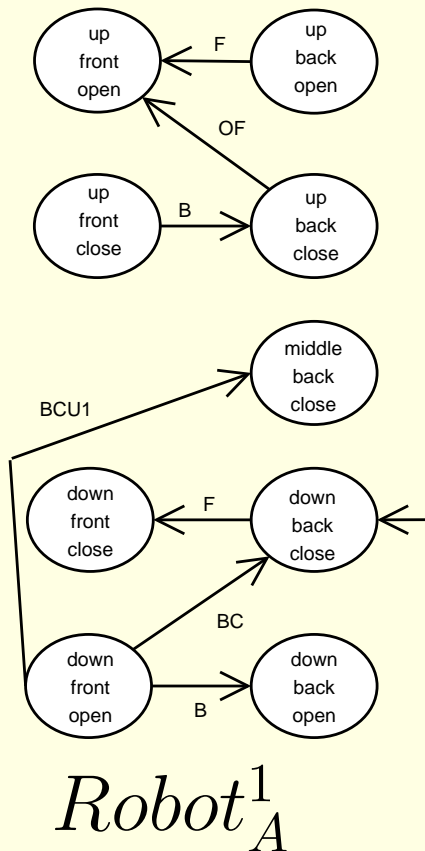
Robot_A



L I F C

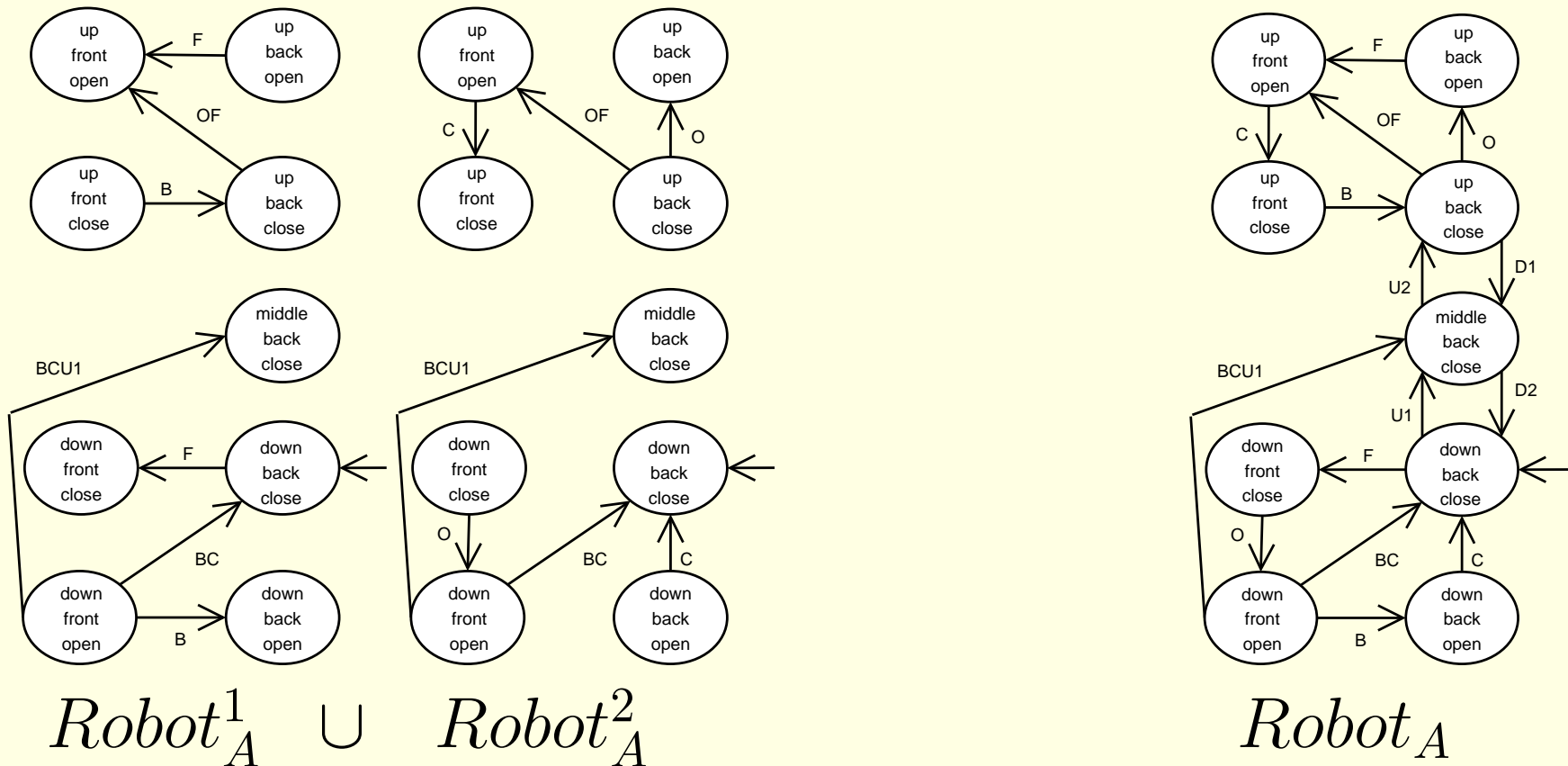
Décomposition : $Robot_A$

UNIVERSITÉ DE FRANCHE-COMTÉ



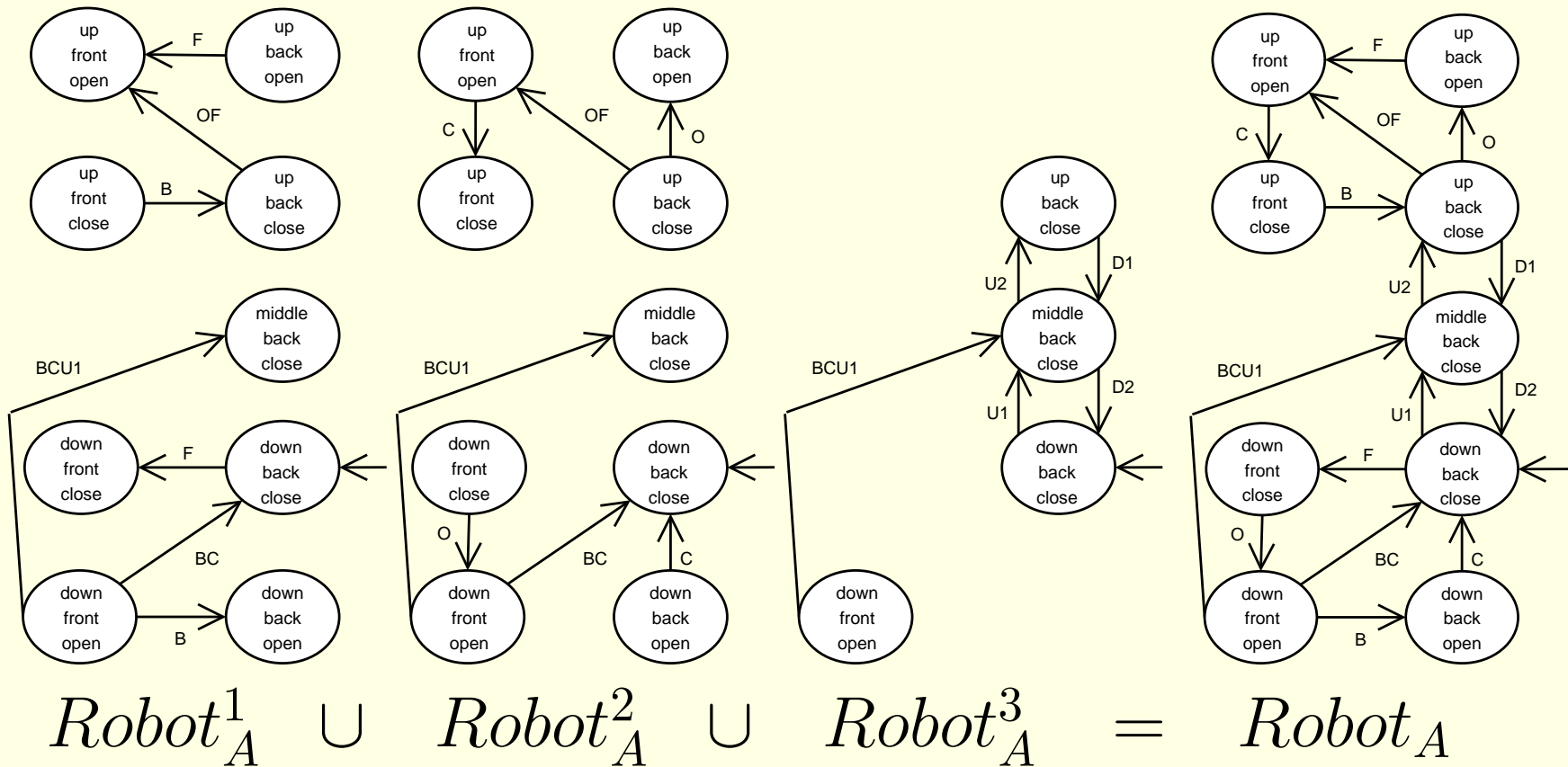


Décomposition : $Robot_A$





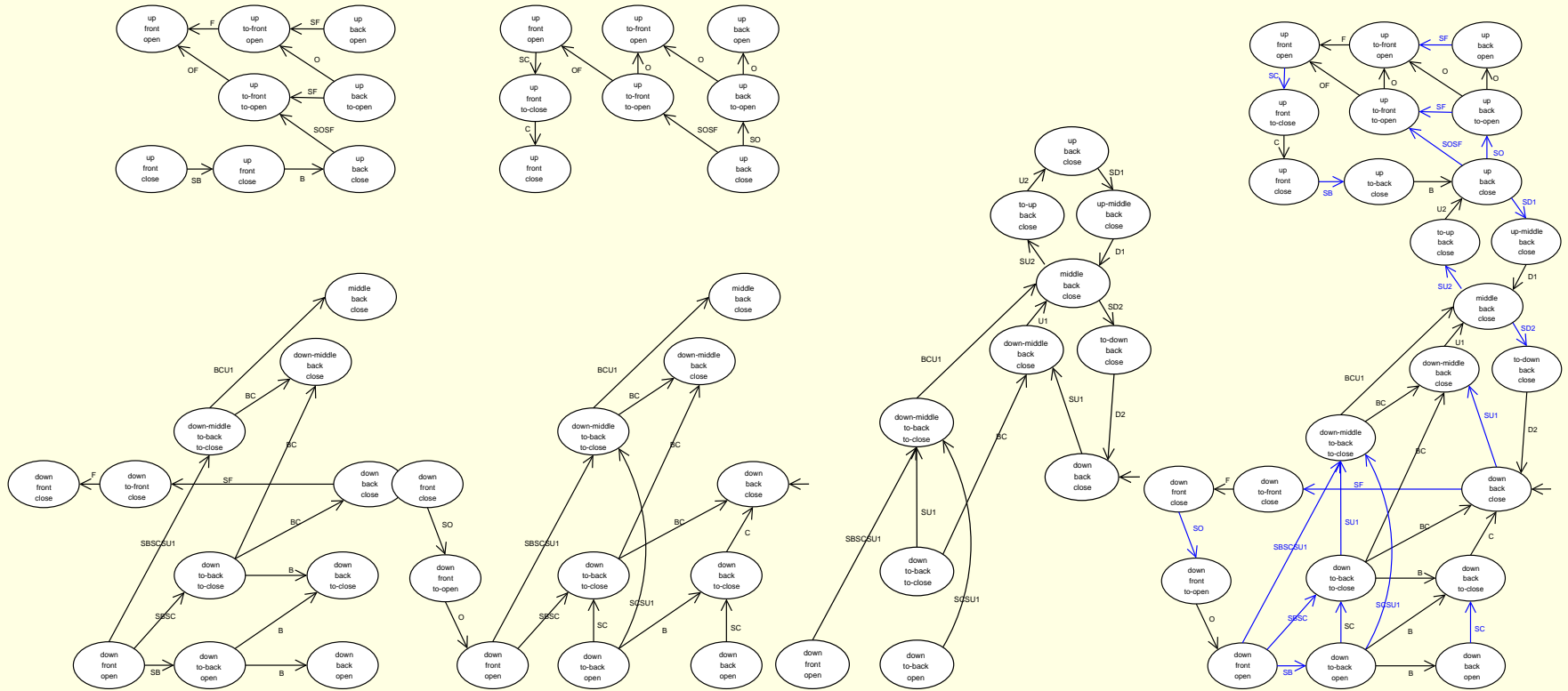
Décomposition : $Robot_A$





L I F C

Décomposition et raffinement : $Robot_R$



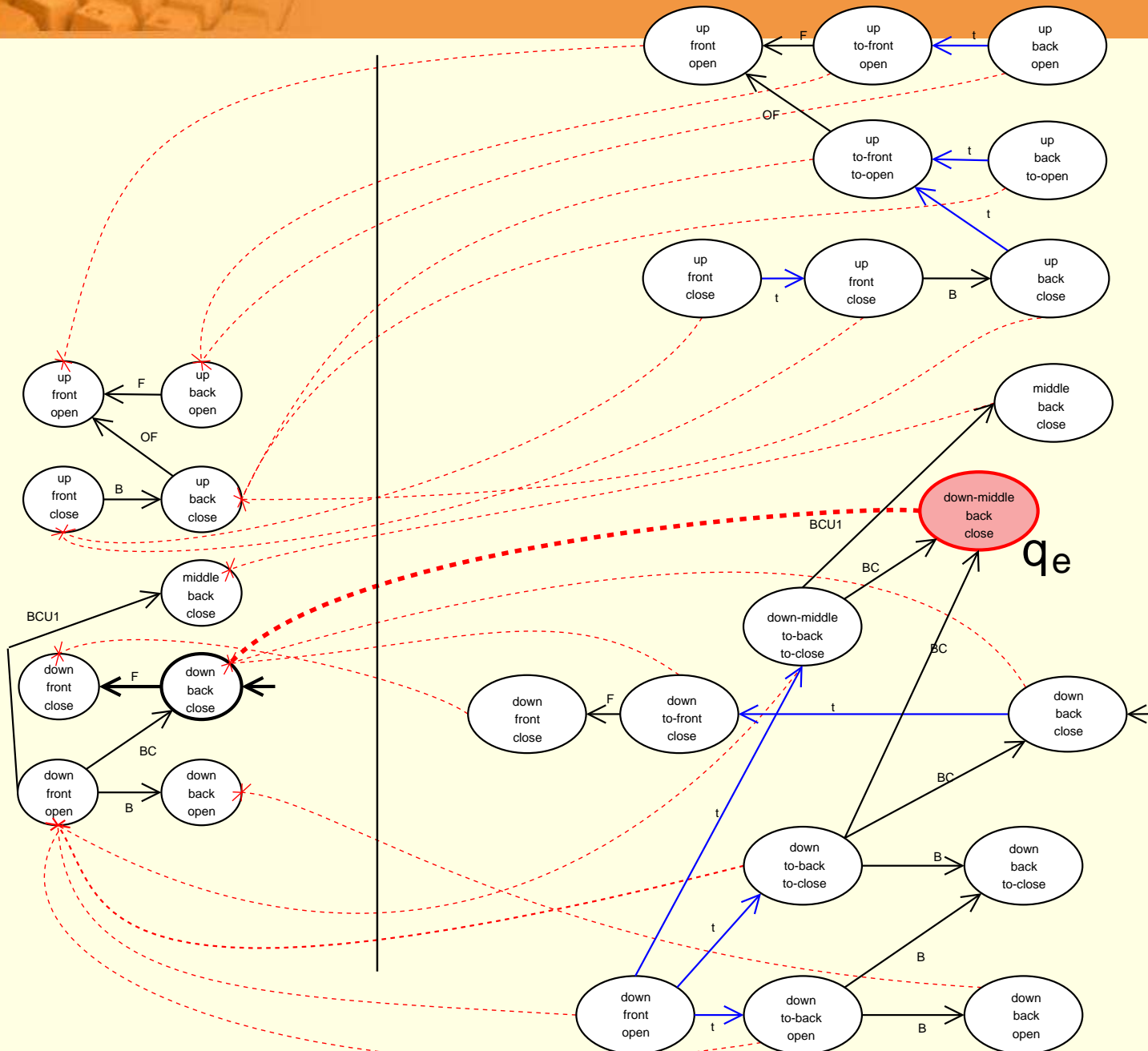
$$Robot_R^1 \cup Robot_R^2 \cup Robot_R^3 = Robot_R$$



L I F C

UNIVERSITÉ DE FRANCHE-COMTÉ

Décomposition et raffinement : $Robot_R^1 \sqsubseteq_{\eta} Robot_A^1$

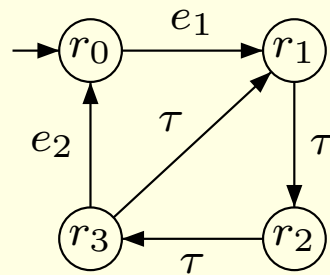
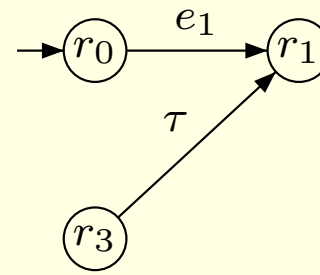
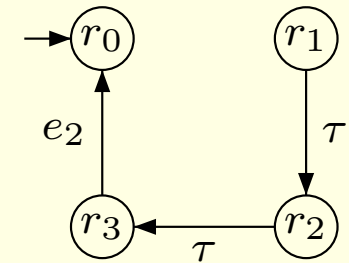




Décomposition et raffinement

La décomposition $SR = SR^1 \cup SR^2$ n'est pas toujours compatible avec le raffinement :

- 🎯 La décomposition introduit dans les sous-systèmes SR^1 et SR^2 de "faux" états de blocages
- 🎯 La décomposition *masque* dans SR^1 et SR^2 des τ -cycles de SR

 SR  SR^1  SR^2



L I F C



Décomposition et raffinement : $SR \sqsubseteq_{\rho_w}^D SA$

Relation *affaiblie* de raffinement entre SR et SA

- Relation de collage
- Simulation des "anciennes" actions
- τ -simulation des "nouvelles" actions
- $D \subseteq Q_R$ est l'ensemble des "nouveaux" états de blocage

Propriétés :

- Le raffinement affaibli *préserve* les sûretés
- Raffinement vs. raffinement affaibli :
 $SR \sqsubseteq_{\eta} SA$ ssi $SR \sqsubseteq_{\rho_w}^D SA$ et $D = \emptyset$ et $\neg \text{div}^{\tau}(SR)$



$$\left. \begin{array}{l} SR^1 \sqsubseteq_{\rho_w}^{D_1} SA^1 \\ SR^2 \sqsubseteq_{\rho_w}^{D_2} SA^2 \end{array} \right\} SR^1 \cup SR^2 \sqsubseteq_{\rho_w}^D SA^1 \cup SA^2$$

" $q_R \in D_1$ n'est pas un "vrai" blocage dans $SR^1 \cup SR^2$ si $q_R \in Q_R^2$ et $q_R \notin D_2$ "

Réduction des blocages :

$$D = D_1 \Delta D_2 = (D_1 \cap D_2) \cup (D_1 \setminus Q_R^2) \cup (D_2 \setminus Q_R^1)$$

La réduction des blocages est associative :

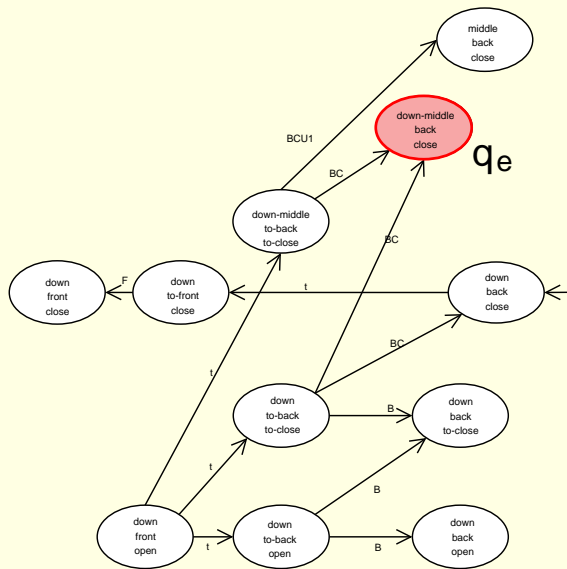
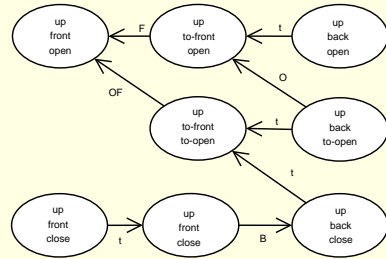
$$(D_1 \Delta D_2) \Delta D_3 = D_1 \Delta (D_2 \Delta D_3)$$



L I F C



Décomposition et raffinement : $Robot^1_R$



$$Robot^1_R$$

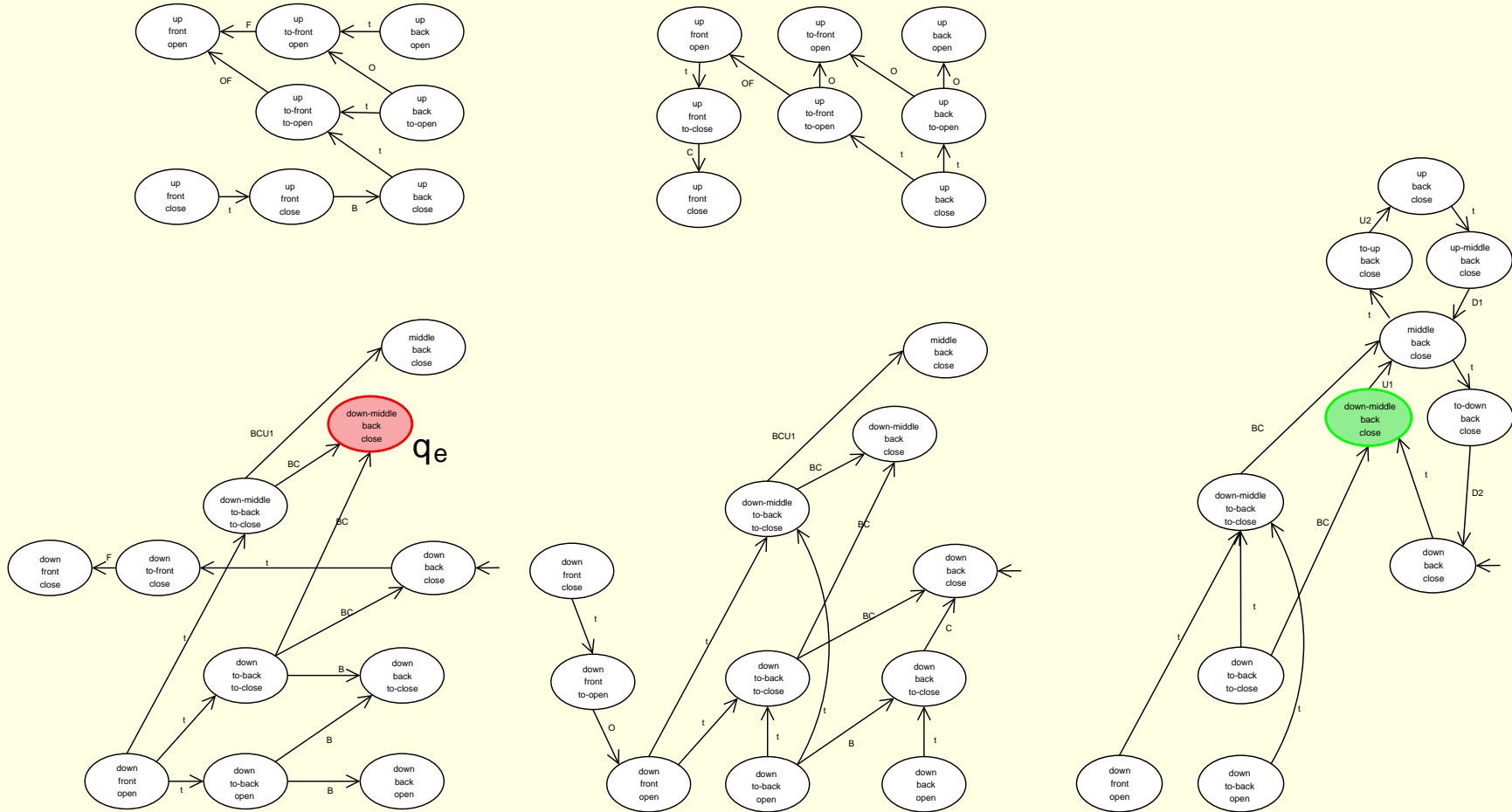
$$D_1 = \{q_e\}$$



L I F C



Décomposition et raffinement : $Robot^1_R$



$$Robot^1_R$$

$$D_1 = \{q_e\}$$

$$\cup Robot^2_R$$

$$D_2 = \emptyset$$

$$\cup Robot^3_R$$

$$D_3 = \emptyset$$



Théorème (raffinement par décomposition).
Soient $SA = SA^1 \cup SA^2$ et $SR = SR^1 \cup SR^2$.

$$\frac{\begin{array}{l} SR^1 \sqsubseteq_{\rho_w}^{D_1} SA^1, \\ SR^2 \sqsubseteq_{\rho_w}^{D_2} SA^2 \end{array}}{SR^1 \cup SR^2 \sqsubseteq_{\rho_w}^{D_1 \Delta D_2} SA^1 \cup SA^2}$$

Le théorème précédent se généralise à n sous-systèmes par associativité



- ① Préservation *par décomposition* des invariants

$$\frac{SA^1 \models \Box sp, \quad SA^2 \models \Box sp}{SA^1 \cup SA^2 \models \Box sp}$$

- ① Préservation *par décomposition* des invariants dynamiques, un invariant dynamique étant un prédicat "avant-après" correspondant à $\Box(sp_1 \Rightarrow \bigcirc sp_2)$.



- ① Préservation par décomposition de la *non-satisfaction* des sûretés LTL :

$$S^1 \not\models \phi \text{ alors } S^1 \cup S^2 \not\models \phi$$

Nous n'avons pas *préservation* pour des propriétés LTL quelconques puisque $S^1 \cup S^2$ *simule* S^1



- ① Préservation par décomposition de la *non-satisfaction* des sûretés LTL :

$$S^1 \not\models \phi \text{ alors } S^1 \cup S^2 \not\models \phi$$

Nous n'avons pas *préservation* pour des propriétés LTL quelconques puisque $S^1 \cup S^2$ *simule* S^1

- ① Algorithme d'*analyse d'atteignabilité compositionnelle* utilisant les sous-systèmes



L I F C

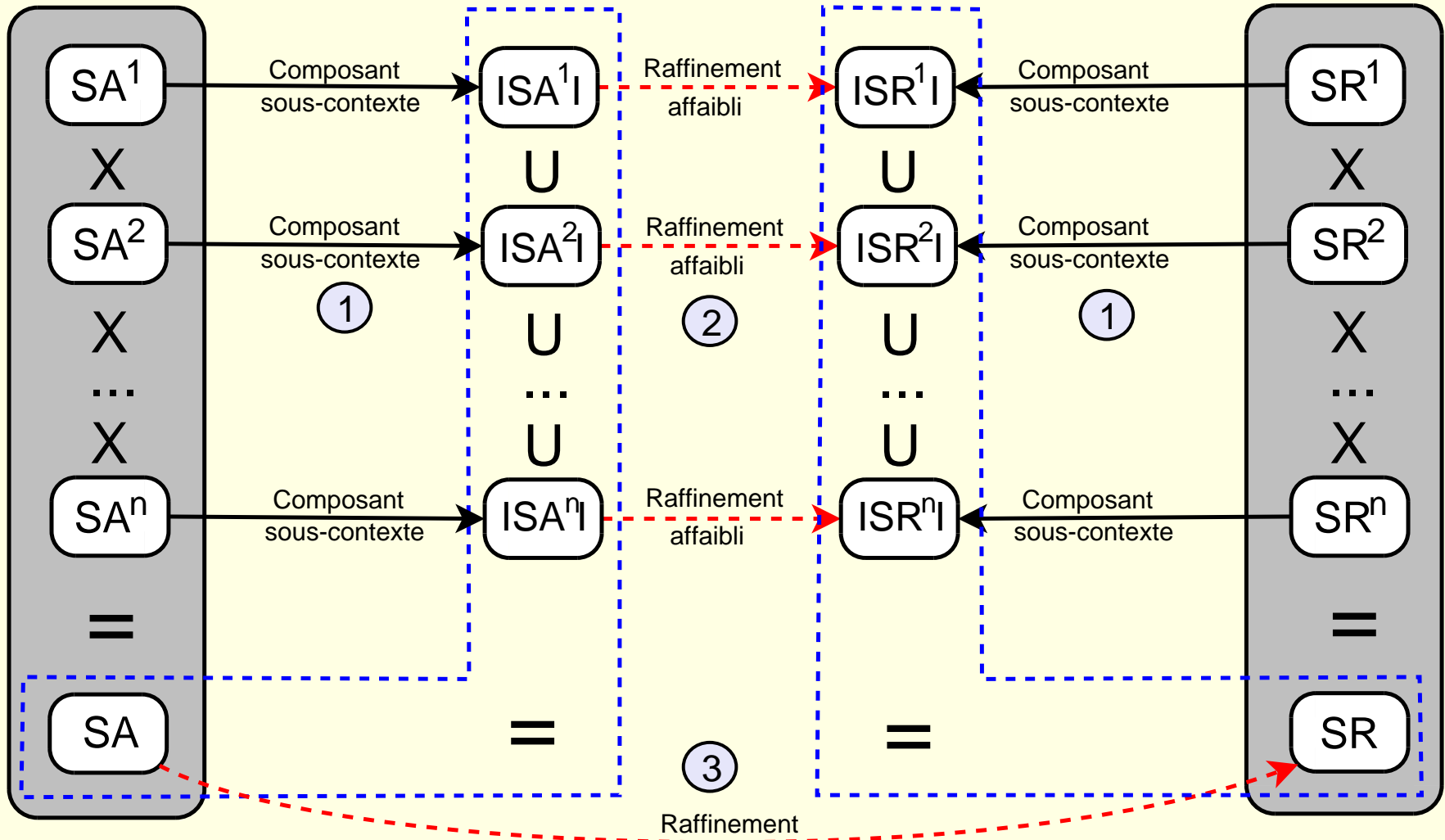


Plan de la présentation

- ① Préliminaires
 - Systèmes de transitions doublement étiquetés
 - Propriétés des systèmes
 - Raffinement des systèmes
- ② Décomposition d'un système
 - Décomposition et raffinement
 - Décomposition et propriétés
- ③ **Systèmes à composants synchronisés**
 - **Systèmes à composants et raffinement**
 - **Systèmes à composants et propriétés**
 - **Implantation SynCo**
- ④ Conclusion et perspectives



Systemes à composants synchronisés





L I F C



Systemes à composants synchronisés

- ⊙ Produit cartésien
- ⊙ Produit synchronisé
[Arnold, Nivat 82]
- ⊙ Produit synchrone
- ⊙ Produit asynchrone
- ⊙ ST2Es communicants
- ⊙ ...

**Systemes à composants
synchronisés**

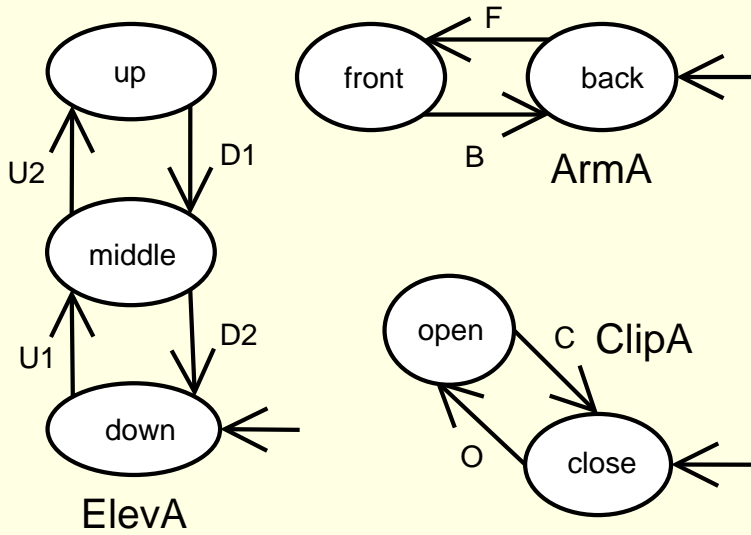
= {
des composants indépendants S^1, S^2, \dots, S^n ,
un ensemble de synchronisations contraintes Syn^c ,
une opération de produit \times_{Syn^c}



L I F C



Systemes à composants : *Robot_A*

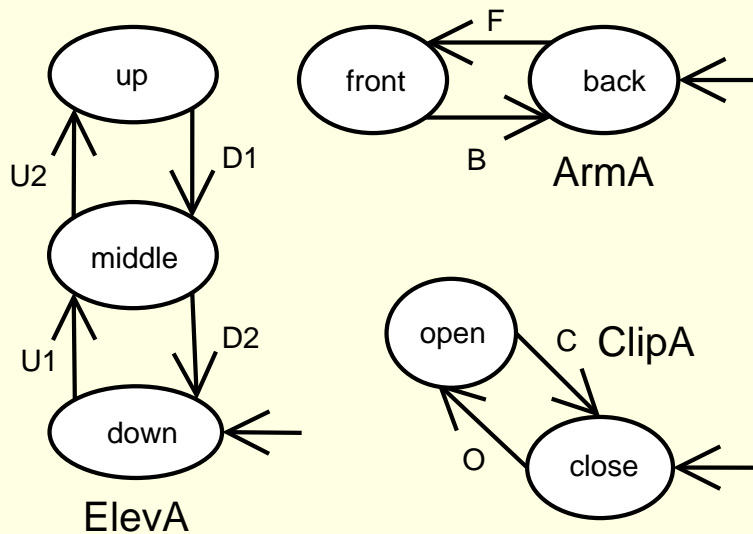




L I F C



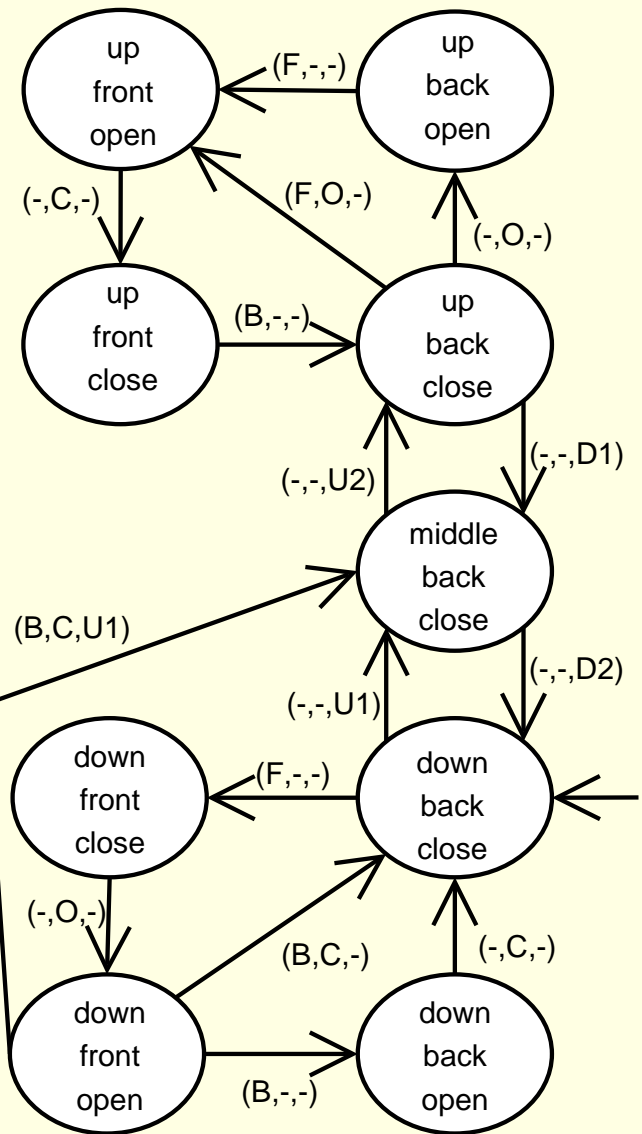
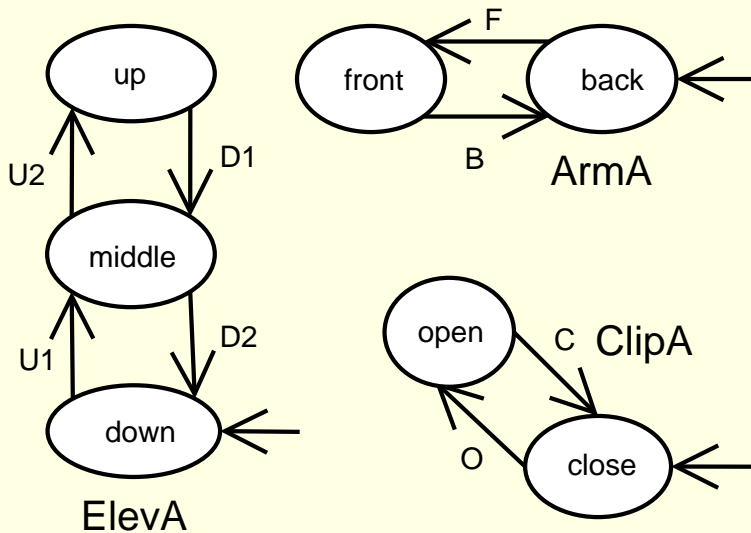
Systemes à composants : *Robot_A*



(-,O,-) **when** (ar=back \wedge el=up) \vee (ar=front \wedge el=down),
(-,C,-) **when** (ar=front \wedge el=up) \vee (ar=back \wedge el=down),
(F,-,-) **when** (cl=open \wedge el=up) \vee (cl=close \wedge el=down),
(B,-,-) **when** (cl=close \wedge el=up) \vee (cl=open \wedge el=down),
(F,O,-) **when** el=up,
(B,C,-) **when** el=down,
(B,C,U1) **when** true,
(-,-,U1) **when** cl=close \wedge ar=back,
(-,-,U2) **when** cl=close \wedge ar=back,
(-,-,D1) **when** cl=close \wedge ar=back,
(-,-,D2) **when** cl=close \wedge ar=back



Systemes à composants : *Robot_A*



- $(-,O,-)$ **when** $(ar=back \wedge el=up) \vee (ar=front \wedge el=down)$,
- $(-,C,-)$ **when** $(ar=front \wedge el=up) \vee (ar=back \wedge el=down)$,
- $(F,-,-)$ **when** $(cl=open \wedge el=up) \vee (cl=close \wedge el=down)$,
- $(B,-,-)$ **when** $(cl=close \wedge el=up) \vee (cl=open \wedge el=down)$,
- $(F,O,-)$ **when** $el=up$,
- $(B,C,-)$ **when** $el=down$,
- $(B,C,U1)$ **when** true,
- $(-,-,U1)$ **when** $cl=close \wedge ar=back$,
- $(-,-,U2)$ **when** $cl=close \wedge ar=back$,
- $(-,-,D1)$ **when** $cl=close \wedge ar=back$,
- $(-,-,D2)$ **when** $cl=close \wedge ar=back$



Systèmes à composants : composants sous-contexte

Soit (S^1, S^2, Syn^c) un système à composants

L'ensemble de synchronisations Syn^c est *restreint* pour chacun des composants : $[Syn^c]_{S^1}$ et $[Syn^c]_{S^2}$

Les **composants sous-contexte** $[S^1]$ et $[S^2]$ sont obtenus ainsi :

$$[S^1] = S^1 \times_{[Syn^c]_{S^1}} S^2 \quad [S^2] = S^1 \times_{[Syn^c]_{S^2}} S^2$$

Système à composants = **décomposition**

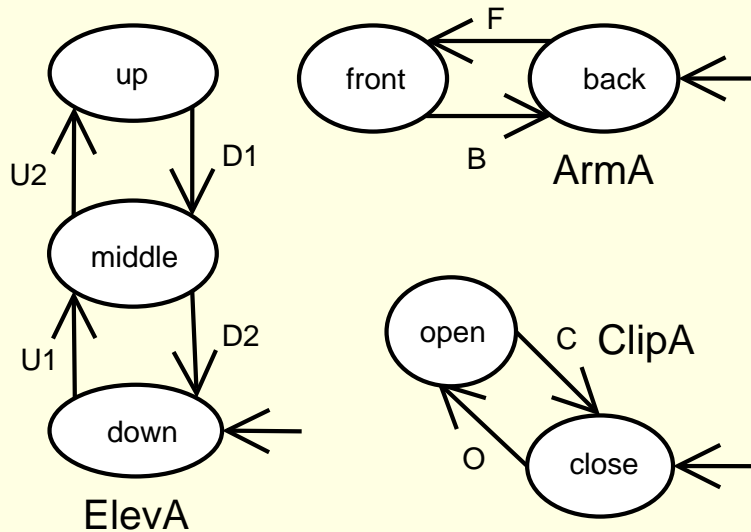
$$(S^1, S^2, Syn^c) = S^1 \times_{Syn^c} S^2 = [S^1] \cup [S^2]$$



L I F C



Systemes à composants : $[Arm_A]$



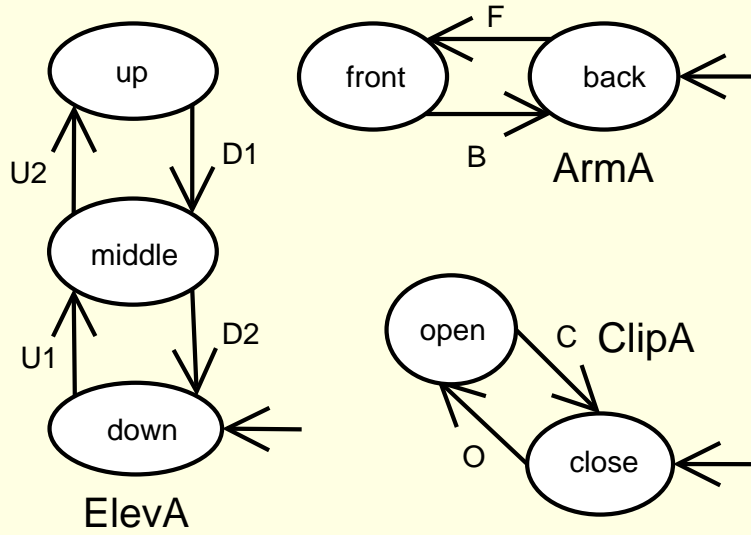
(-,O,-) **when** (ar=back \wedge el=up) \vee (ar=front \wedge el=down),
(-,C,-) **when** (ar=front \wedge el=up) \vee (ar=back \wedge el=down),
(F,-,-) **when** (cl=open \wedge el=up) \vee (cl=close \wedge el=down),
(B,-,-) **when** (cl=close \wedge el=up) \vee (cl=open \wedge el=down),
(F,O,-) **when** el=up,
(B,C,-) **when** el=down,
(B,C,U1) **when** true,
(-,-,U1) **when** cl=close \wedge ar=back,
(-,-,U2) **when** cl=close \wedge ar=back,
(-,-,D1) **when** cl=close \wedge ar=back,
(-,-,D2) **when** cl=close \wedge ar=back



L I F C



Systemes à composants : $[Arm_A]$



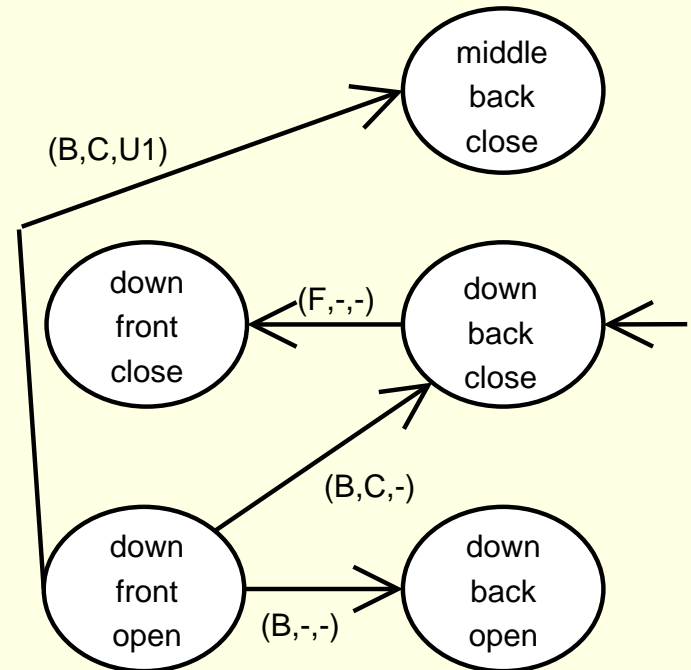
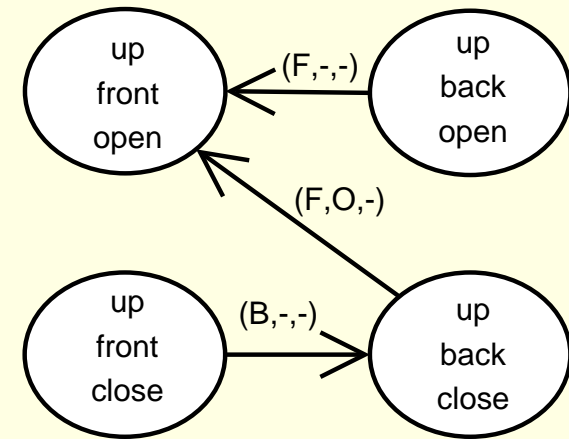
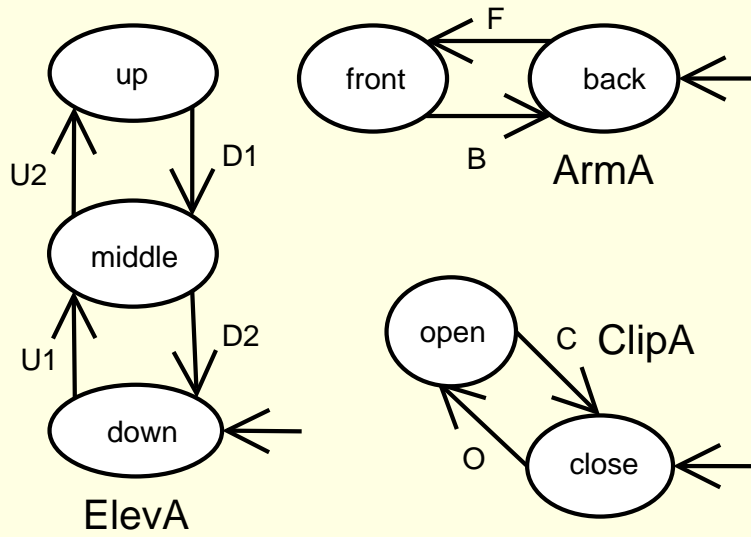
- (F,-,-) **when** $(cl=open \wedge el=up) \vee (cl=close \wedge el=down)$,
- (B,-,-) **when** $(cl=close \wedge el=up) \vee (cl=open \wedge el=down)$,
- (F,O,-) **when** $el=up$,
- (B,C,-) **when** $el=down$,
- (B,C,U1) **when** true,



L I F C



Systemes à composants : $[Arm_A]$



$(F,-,-)$ when $(cl=open \wedge el=up) \vee (cl=close \wedge el=down)$,

$(B,-,-)$ when $(cl=close \wedge el=up) \vee (cl=open \wedge el=down)$,

$(F,O,-)$ when $el=up$,

$(B,C,-)$ when $el=down$,

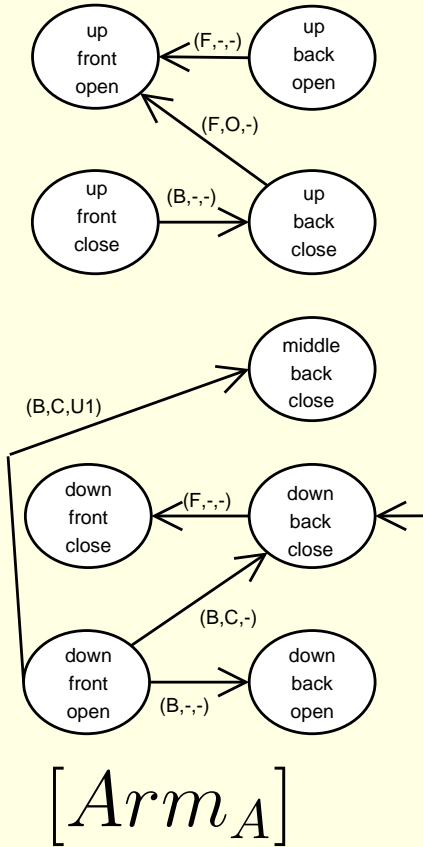
$(B,C,U1)$ when true,



L I F C

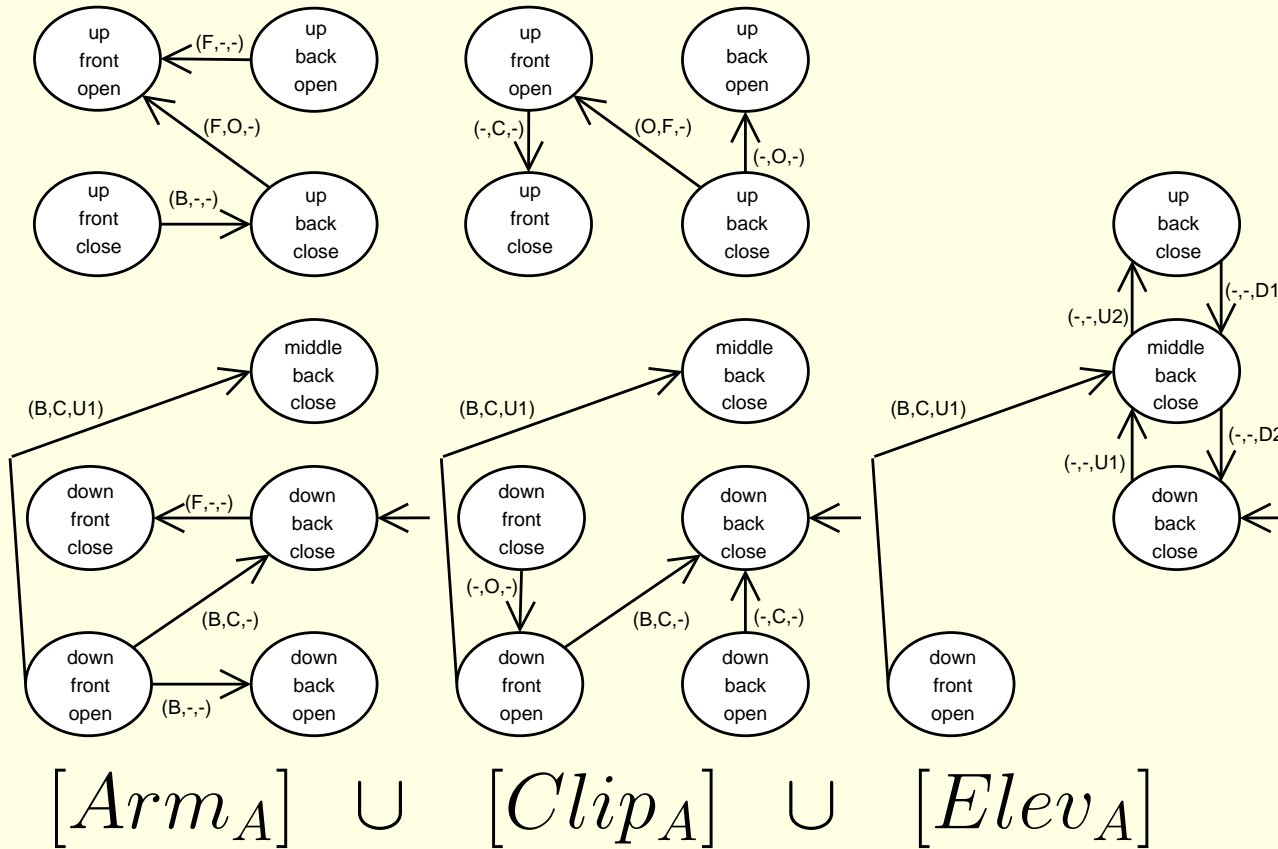


Systemes à composants : décomposition



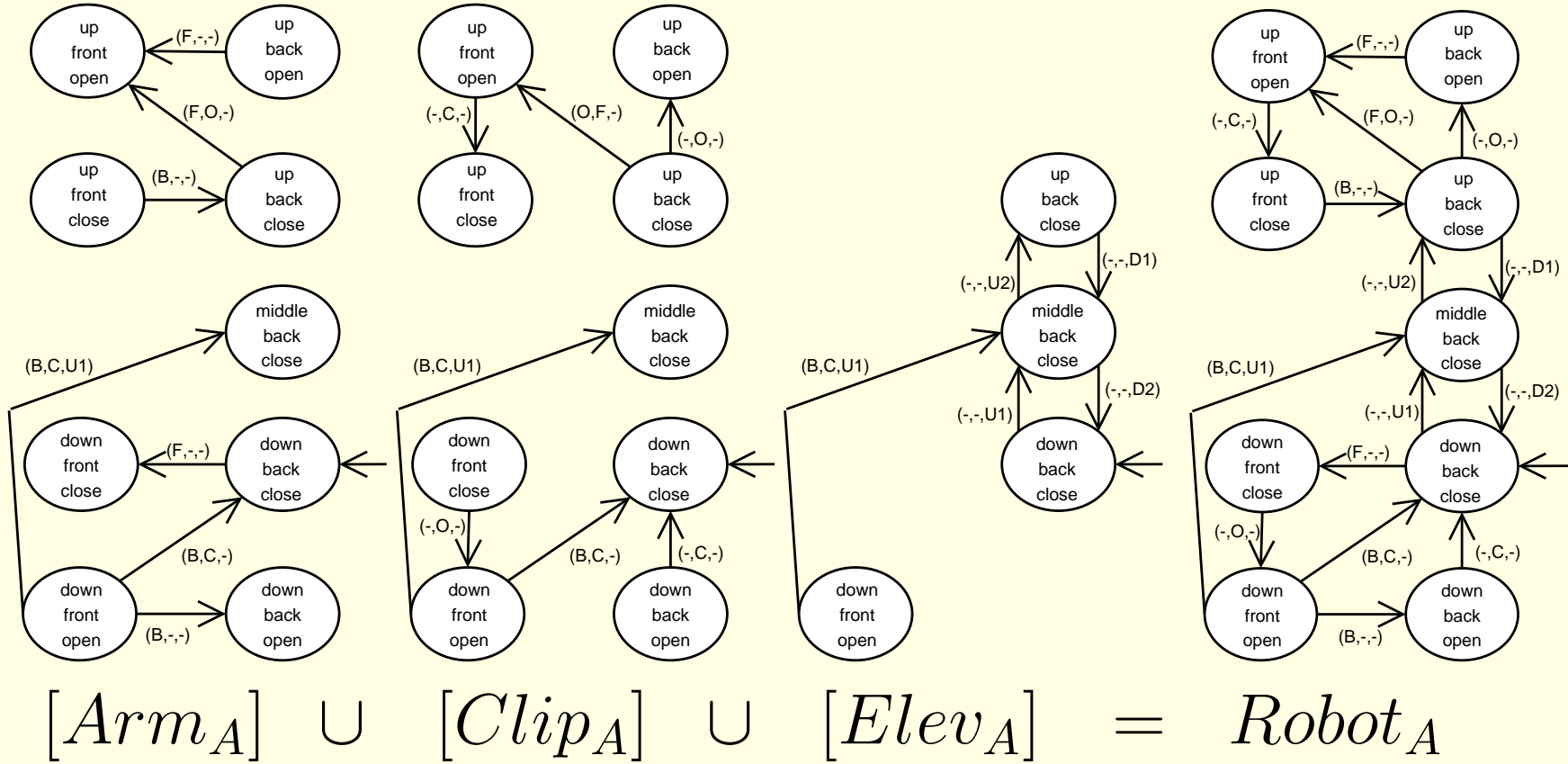


Systemes à composants : décomposition





Systemes à composants : décomposition





L I F C



Systemes à composants et raffinement

Soient (SA^1, SA^2, Syn_A^c) et (SR^1, SR^2, Syn_R^c) .

$$[SR^1] \sqsubseteq_{\rho_w}^{D_1} [SA^1],$$

$$[SR^2] \sqsubseteq_{\rho_w}^{D_2} [SA^2]$$

$$(SR^1, SR^2, Syn_R^c) \sqsubseteq_{\rho_w}^{D_1 \Delta D_2} (SA^1, SA^2, Syn_A^c)$$

Pour avoir le **raffinement**, il reste à montrer que

⊗ $\neg \text{div}^\tau(SR^1, SR^2, Syn_R^c) ?$

⊗ $D_1 \Delta D_2 = \emptyset ?$



L I F C

Systemes à composants et raffinement : τ -cycles

Soit (SR^1, SR^2, Syn_R^c) un système à composants.

$$\left. \begin{array}{l} \neg div^\tau(SR^1) \\ \neg div^\tau(SR^2) \end{array} \right\} \text{ alors } \neg div^\tau(SR^1, SR^2, Syn_R^c)$$

Idée de preuve par contraposition : $(q_1, q_2) \xrightarrow{\tau} (q'_1, q'_2) \xrightarrow{\tau} (q_1, q_2)$ est un τ -cycle dans (SR^1, SR^2, Syn_R^c) :

- ① $q_1 = q'_1$ et $q_2 \xrightarrow{\tau} q'_2 \xrightarrow{\tau} q_2$
- ② $q_1 \xrightarrow{\tau} q'_1 \xrightarrow{\tau} q_1$ et $q_2 = q'_2$
- ③ $q_1 \xrightarrow{\tau} q'_1 \xrightarrow{\tau} q_1$ et $q_2 \xrightarrow{\tau} q'_2 \xrightarrow{\tau} q_2$

Pour avoir $\neg div^\tau(SR^1)$, il suffit d'avoir $SR^1 \sqsubseteq_\eta SA^1$



L I F C



Systemes à composants et raffinement : blocages

Soit $[SR^1] \sqsubseteq_{\rho_w}^{D_1} [SA^1]$

On définit uniquement à partir de D_1 et de Syn_R^c l'ensemble RD_1 des blocages *réductibles* : $q_R \in RD_1$ ssi

- ① q_R appartient à D_1
- ② il existe dans Syn_R^c une transition de SR^2 *activable* depuis q_R



Systemes à composants et raffinement : blocages

Soit $[SR^1] \sqsubseteq_{\rho_w}^{D_1} [SA^1]$

On définit uniquement à partir de D_1 et de Syn_R^c l'ensemble RD_1 des blocages *réductibles* : $q_R \in RD_1$ ssi

- ① q_R appartient à D_1
- ② il existe dans Syn_R^c une transition de SR^2 *activable* depuis q_R

Ensembles de blocages réductibles vs. réduction des blocages :

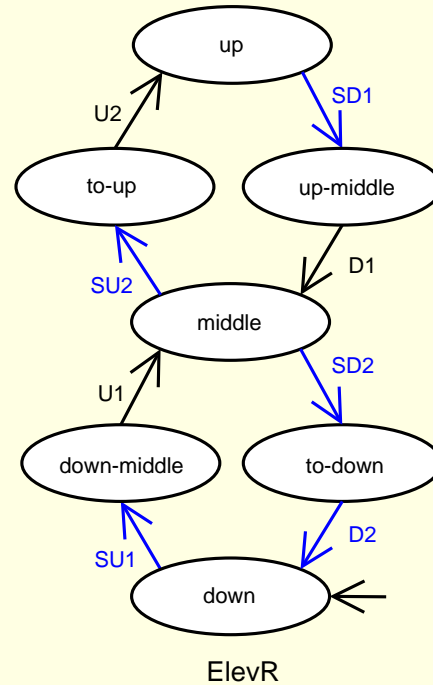
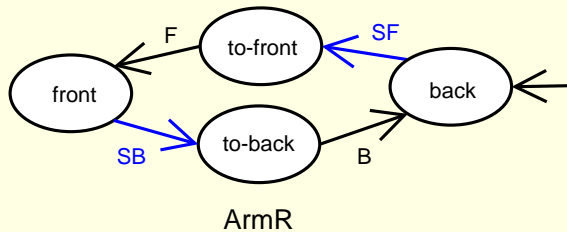
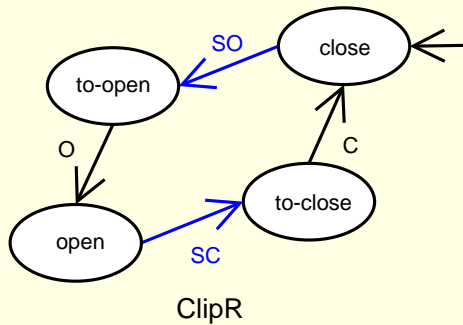
$$\left. \begin{array}{l} D_1 = RD_1 \\ D_2 = RD_2 \end{array} \right\} \Rightarrow D_1 \Delta D_2 = \emptyset$$

**Théorème (raffinement d'un système à composants).**

Soient $SA = (SA^1, SA^2, Syn_A^c)$

et $SR = (SR^1, SR^2, Syn_R^c)$

1. $\neg div^\tau(SR^1), \neg div^\tau(SR^2)$
 2. $[SR^1] \sqsubseteq_{\rho_w}^{D_1} [SA^1], D_1 = RD_1,$
 3. $[SR^2] \sqsubseteq_{\rho_w}^{D_2} [SA^2], D_2 = RD_2$
-
- $$SR \sqsubseteq_\eta SA$$



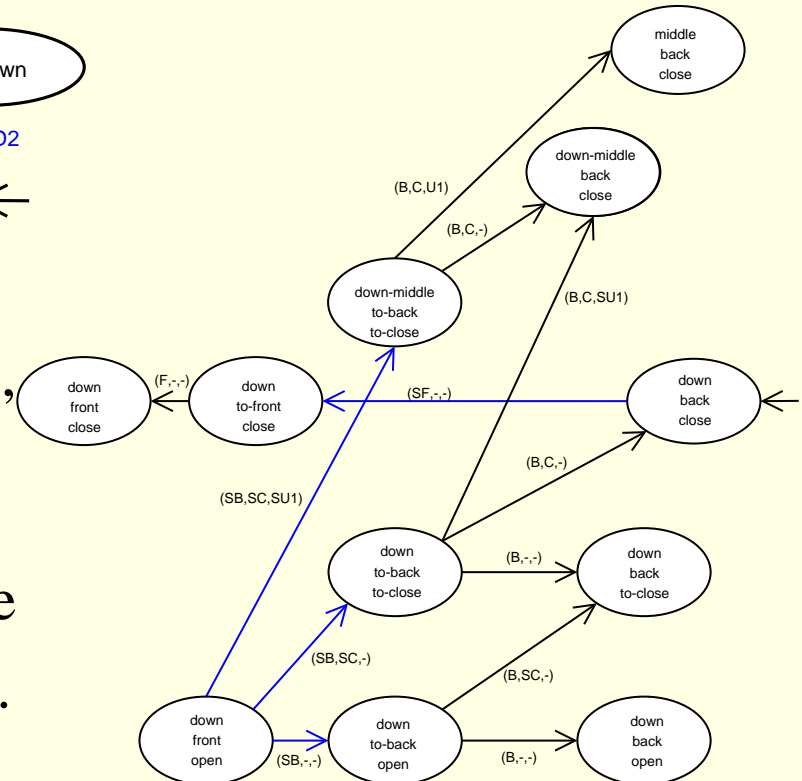
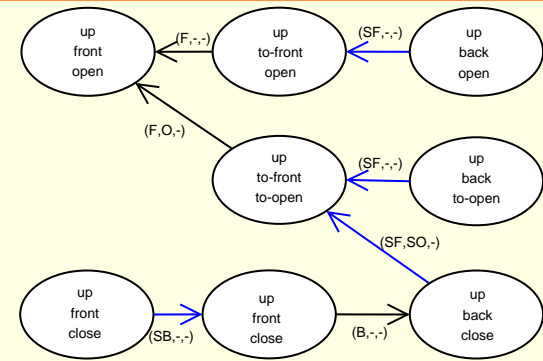
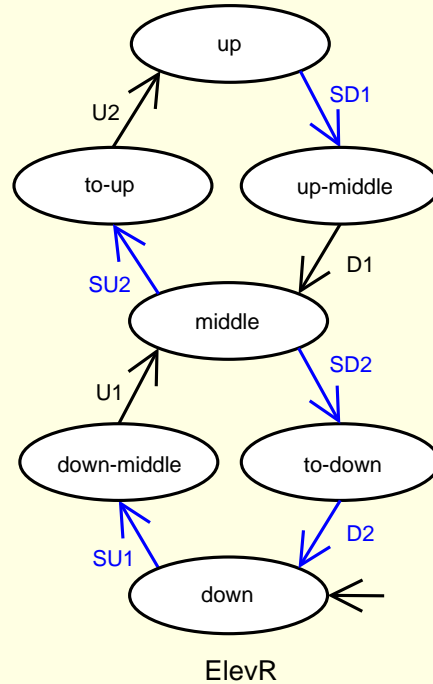
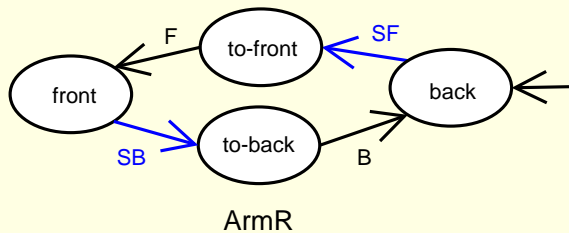
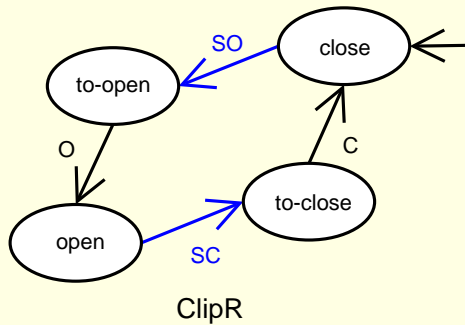
Nous constatons que $\neg div^T(ArmR)$,
 $\neg div^T(ClipR)$ et $\neg div^T(ElevR)$.

Nous donnons aussi Syn_R^C un ensemble
raffiné de synchronisations contraintes.



L I F C

Systemes à composants et raffinement : $[Arm_R]$



Nous constatons que $\neg div^T(ArmR)$,
 $\neg div^T(ClipR)$ et $\neg div^T(ElevR)$.

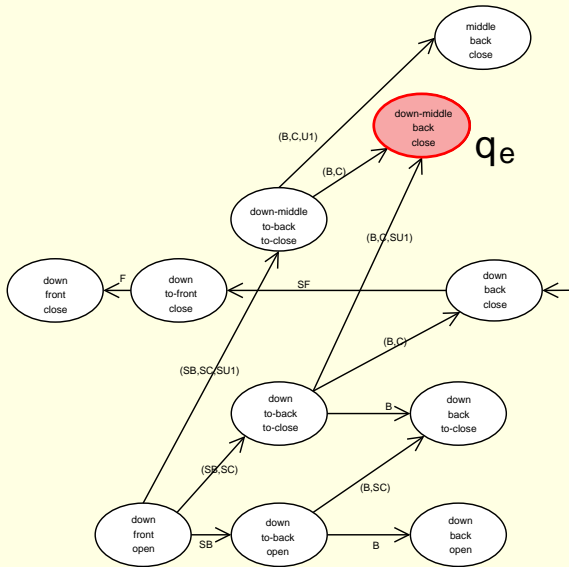
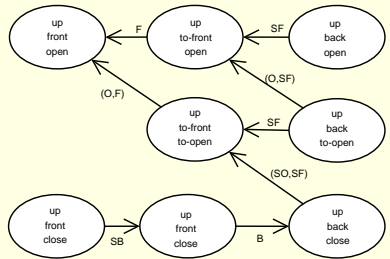
Nous donnons aussi Syn_R^C un ensemble
 raffiné de synchronisations contraintes.



L I F C



Systemes à composants et raffinement : $Robot_R$



$$[Arm_R] \sqsubseteq_{\rho_w}^{D_A} [Arm_A]$$

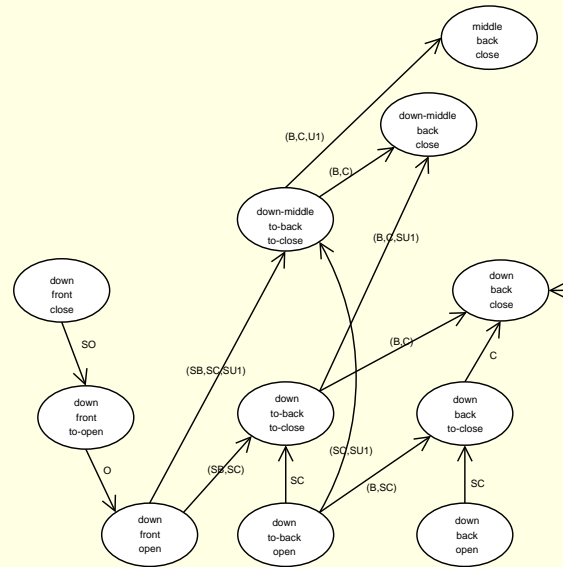
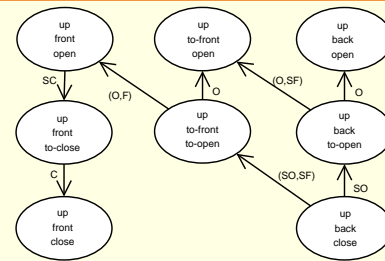
$$D_A = \{q_e\} = RD_A$$



L I F C

Systemes à composants et raffinement : $Robot_R$

UNIVERSITÉ DE FRANCHE-COMTÉ



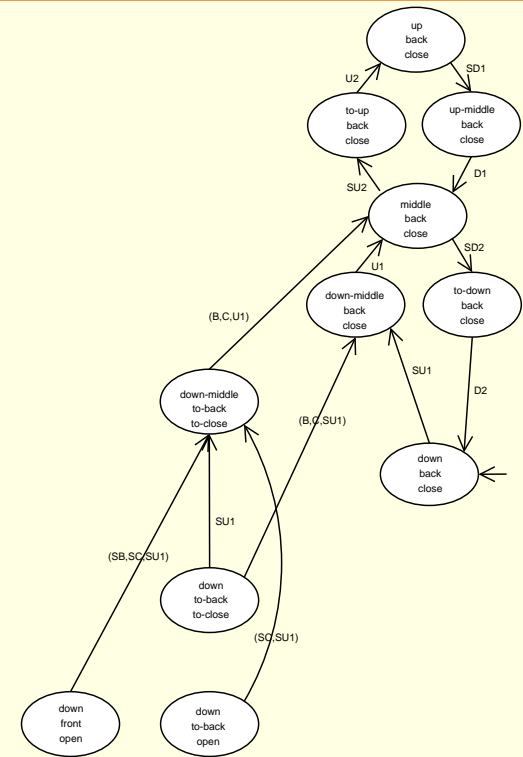
$$[Clip_R] \sqsubseteq_{\rho_w}^{D_C} [Clip_A]$$

$$D_C = \emptyset$$



L I F C

Systemes à composants et raffinement : $Robot_R$



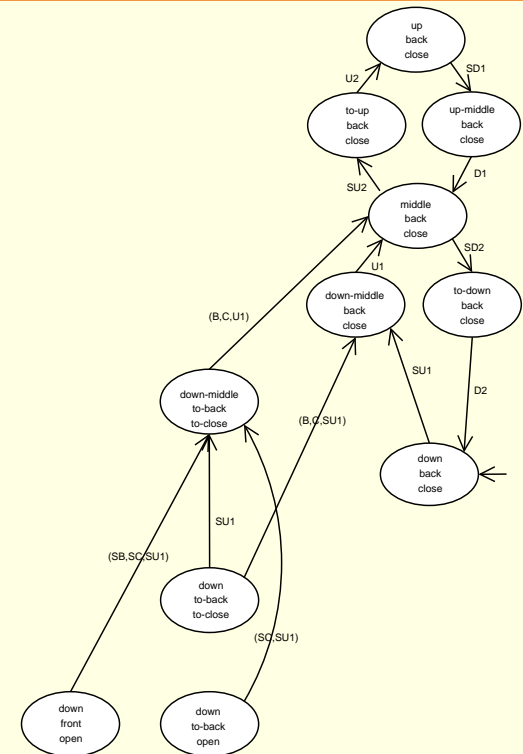
$$[Elev_R] \sqsubseteq_{\rho_w}^{D_E} [Elev_A]$$

$$D_E = \emptyset$$



L I F C

Systemes à composants et raffinement : $Robot_R$



$$[Elev_R] \sqsubseteq_{\rho_w}^{D_E} [Elev_A]$$

$$D_E = \emptyset$$

$$(Arm_R, Clip_R, Elev_R, Syn_R^c) \sqsubseteq_{\eta} (Arm_A, Clip_A, Elev_A, Syn_A^c)$$



② Préservation *par composition* des invariants locaux

$$\frac{SA^1 \models \Box sp_{A1}, SA^2 \models \Box sp_{A2}}{(SA^1, SA^2, Syn_A^c) \models \Box (sp_{A1} \wedge sp_{A2})}$$

② Préservation des propriétés LTL de sûreté

- si $\phi \in LTL_{surete}$ et si $SA^1 \models \phi$ alors
 $(SA^1, SA^2, Syn_A^c) \models \phi$,
- Si $\phi_s \wedge \phi_l \in LTL$ et si $SA^1 \models \phi_s \wedge \phi_l$ alors
 $(SA^1, SA^2, Syn_A^c) \models \phi_s$



L I F C

Systemes à composants et propriétés globales

UNIVERSITÉ DE FRANCHE-COMTÉ



Préservation par *décomposition* des propriétés *globales* puisque

$$(S^1, S^2, Syn^c) = [S^1] \cup [S^2]$$

- ① invariants
- ① invariants dynamiques
- ① non-satisfaction des propriétés LTL de sûreté
- ① atteignabilité compositionnelle



L I F C

UNIVERSITÉ DE FRANCHE-COMTÉ

Systemes à composants : implantation SynCo

SynCo 1.8 - Synchronized Component-based System Analyser

File Edit Run Help

Component-based System

- Arm
 - Abs. Component
 - Ref. Component
 - Gluing Predicate
- Synchronization
 - Abs. Synchro
 - Ref. Synchro
- Clip
 - Abs. Component
 - clipA.fts
 - clipR.fts
 - clip.inv
 - Ref. Component
 - Gluing Predicate
- Elevator
 - Abs. Component
 - Ref. Component
 - Gluing Predicate

Transition System

```
type CLIPR = {open, op2cl, close, cl2op}
local cIR : CLIPR
Initially (cIR = close)
Transition SO :
enable (cIR = close);
assign cIR := cl2op
Transition O :
enable (cIR = cl2op);
assign cIR := open
Transition SC :
enable (cIR = open);
assign cIR := op2cl
Transition C :
enable (cIR = op2cl);
assign cIR := close
```

DEBUG WINDOW

Arm
synchro
Clip
Elevator



Systemes à composants : implantation SynCo

SynCo 1.8 - Synchronized Component-based System Analyser

File Edit Run Help

Component-based Syst...

- Arm
 - Abs. Component
 - Ref. Component
 - Gluing Predicate
- Synchronization
 - Abs. Synchro
 - robotA.syn
 - Ref. Synchro
 - robotR.syn
- Clip
 - Abs. Component
 - Ref. Component
 - Gluing Predicate
- Elevator
 - Abs. Component
 - Ref. Component
 - Gluing Predicate

```
O when ((arR = back) /\ (eIR = up)) \/ ((arR = ba2fr) /\ (eIR = up)) \/ ((arR = front) /\ (eIR = down)),
C when ((arR = front) /\ (eIR = up)) \/ ((arR = back) /\ (eIR = down)),
SO when ((arR = back) /\ (eIR = up)) \/ ((arR = front) /\ (eIR = down)),
SC when ((arR = front) /\ (eIR = up)) \/ ((arR = back) /\ (eIR = down)),
F when ((cIR = open) /\ (eIR = up)) \/ ((cIR = close) /\ (eIR = down)),
B when ((cIR = close) /\ (eIR = up)) \/ ((cIR = open) /\ (eIR = down)),
SF when ((cIR = open) /\ (eIR = up)) \/ ((cIR = close) /\ (eIR = down)),
SB when ((cIR = close) /\ (eIR = up)) \/ ((cIR = open) /\ (eIR = down)),
U1 when ((cIR = close) /\ (arR = back)),
U2 when ((cIR = close) /\ (arR = back)),
D1 when ((cIR = close) /\ (arR = back)),
D2 when ((cIR = close) /\ (arR = back)),
SU1 when ((cIR = close) /\ (arR = back)),
SU2 when ((cIR = close) /\ (arR = back)),
SD1 when ((cIR = close) /\ (arR = back)),
SD2 when ((cIR = close) /\ (arR = back)),
(C, B, U1) when ((cIR = op2cl) /\ (arR = fr2ba)),
(C, B, SU1) when ((cIR = op2cl) /\ (arR = fr2ba)),
(S, SB, SU1) when ((cIR = open) /\ (arR = fr2ba))
```

Shell - Konsole <2>

```
Gluing Relation.....OK
Refinement Relation.....OK
Deadlock Reduction...OK
(78 ms)
Built Abstract Expanded Component 2.....OK
(4 ms)
Built Refined Expanded Component 2.....OK
.....OK
(156 ms)
Gluing Relation.....OK
Refinement Relation.....OK
(62 ms)
Built Abstract Expanded Component 3.....OK
(8 ms)
Built Refined Expanded Component 3.....OK
.....OK
(134 ms)
Gluing Relation.....OK
Refinement Relation.....OK
(26 ms)
--> whole Refinement is successful
```

Successful...

Project Refinement is successful

OK



L I F C

UNIVERSITÉ DE FRANCHE-COMTÉ

Systemes à composants : implantation SynCo

Bras mobile robotisé

	$ Q + T $
$[Arm_A]$	$9+7=16$
$[Clip_A]$	$9+7=16$
$[Elev_A]$	$4+5=9$
SA	$9+15=24$
$[Arm_R]$	$19+19=38$
$[Clip_R]$	$19+20=39$
$[Elev_R]$	$11+12=23$
SR	$24+40=64$

Essuyage-avant

	$ Q + T $
$[Comodo_A]$	$5+10=15$
$[Sensor_A]$	$5+14=19$
$[Left_A]$	$7+6=13$
$[Right_A]$	$7+6=13$
SA	$8+22=30$
$[Comodo_R]$	$8+17=25$
$[Sensor_R]$	$10+25=35$
$[Left_R]$	$18+20=38$
$[Right_R]$	$18+20=38$
SR	$20+47=67$

CEPS

	$ Q + T $
$[Card_A]$	$10+18=28$
$[Load_A]$	$5+6=11$
$[Pos_A]$	$7+11=18$
SA	$10+18=28$
$[Card_R]$	$544+561=1105$
$[Load_R]$	$182+188=370$
$[Pos_R]$	$378+402=780$
SR	$544+705=1249$



L I F C

Conclusion et perspectives : contributions



- ① Démarche générale de raffinement par décomposition
 - Relation affaiblie de raffinement
 - Théorème de raffinement par décomposition
 - Propriétés et décomposition : invariant et invariant dynamique

- ① Raffinement systèmes à composants synchronisés
 - Systèmes à composants \leftrightarrow décomposition
 - Adaptation du raffinement par décomposition
 - > raffinement compositionnel des systèmes à composants
 - Préservation par composition des propriétés LTL de sûreté
 - Implantation d'un prototype SynCo



L I F C



Conclusion et perspectives : publications

- ② 2 publications en conférences internationales
 - O. Kouchnarenko, A. Lanoix. Refinement and verification of synchronized component-based systems. *Formal Methods (FM'03)*.
 - O. Kouchnarenko, A. Lanoix. Verifying invariants of component-based systems through refinement. *Algebraic Methodology And Software Technology (AMAST'04)*.
- ② 1 publication en conférence nationale
 - O. Kouchnarenko, A. Lanoix. Raffinement de systèmes à composants synchronisés. *Modélisation des systèmes réactifs (MSR'03)*.
- ② 2 publications en session outils
 - O. Kouchnarenko, A. Lanoix. SynCo: a refinement analysis tool for synchronized component-based systems. *FM'03 Tool Exhibition Notes*.
 - A. Lanoix. SynCo: vérification du raffinement des systèmes à composants synchronisés. *Session outils, AFADL'04*.
- ② 2 autres communications
 - A. Lanoix. A compositional framework using refinement. *MOVEP'04*.
 - A. Lanoix. Vérifier le raffinement de manière compositionnelle. *MAJECSTIC'04*.



L I F C



Conclusion et perspectives : perspectives

- ① Améliorer SynCo pour pouvoir passer à l'échelle et valider notre approche sur des études de cas industrielles
- ① Etendre la démarche à d'autres modèles
 - décomposition \leftrightarrow systèmes à variables partagées
sous-système = module [Kupferman, Vardi 96, Alur 99]
 - raffinement des systèmes à composants \leftrightarrow raffinement de systèmes communicants [Sidorova et al.]
- ① Etudier le raffinement par ajout de nouveaux composants :
 $SA^1 \parallel SA^2 \sqsubseteq SA^1$ (systèmes non-bloquants \rightarrow [Sifakis 03])